

# RESERVORIOS III

Ing. Silvia Maturano

2025

[silvia.maturano@ingenieria.uncuyo.edu.ar](mailto:silvia.maturano@ingenieria.uncuyo.edu.ar)

# Modalidad

## Teoría-Práctica.

- Material teórico disponible en Aula Abierta
- Ejercitación
  - Cuestionarios
  - Resolución de problemas
  - Prácticas en Simulador T-navigator

## 2 Exámenes Parciales

- Clases (75 hs)
  - Martes de 17 a 19 hs
  - Viernes de 16 a 19 hs
- Lugar
  - Aula de informática
- Consulta
  - Virtual por Aula Abierta. Jueves de 16 a 17 hs
- Parciales (2)

## Fechas-Horarios

■ Recuperación Secundaria

■ Recuperación Asistida

■ Simulación Numérica

# Contenido

# RECUPERACIÓN SECUNDARIA

## WATERFLOODING

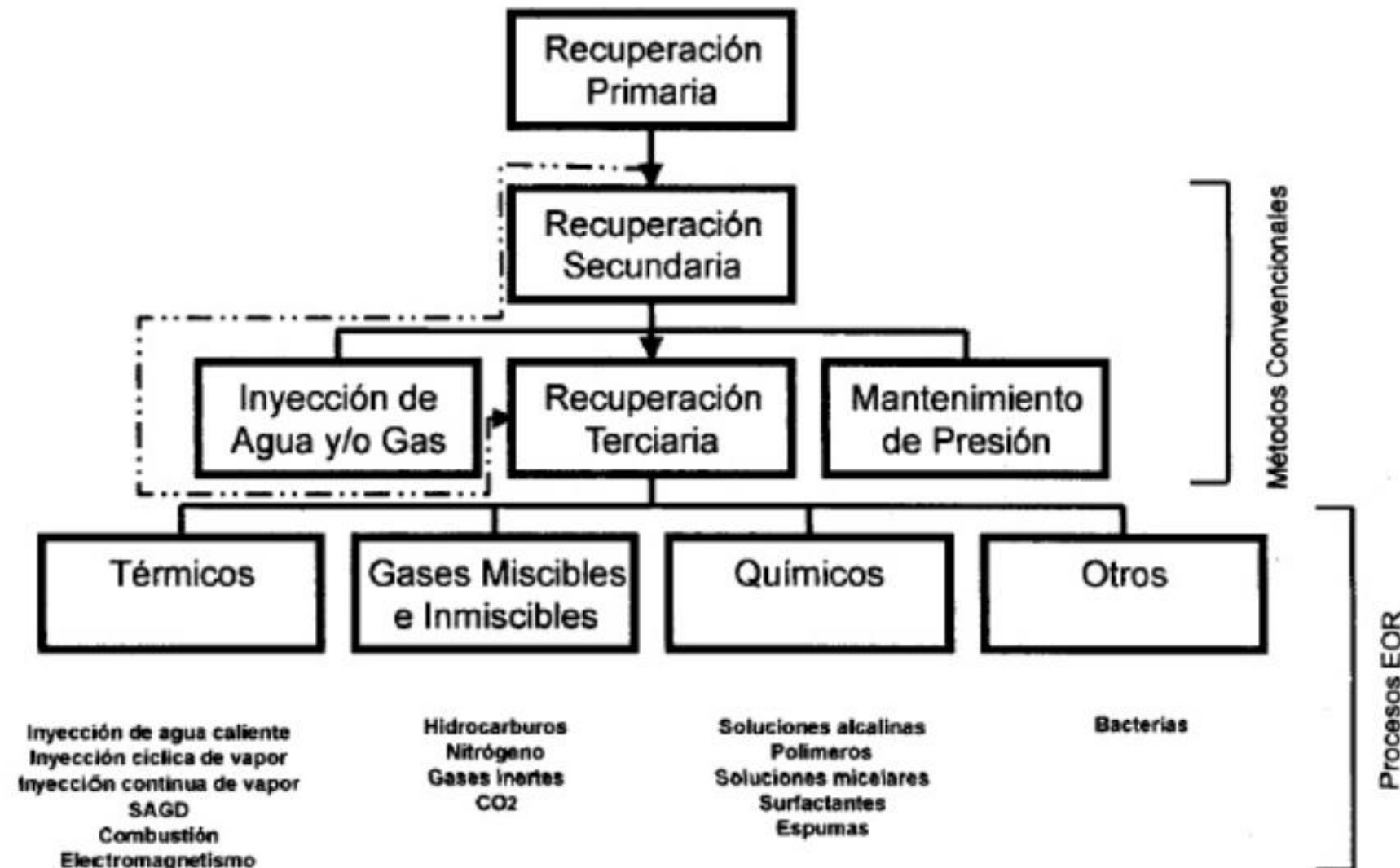
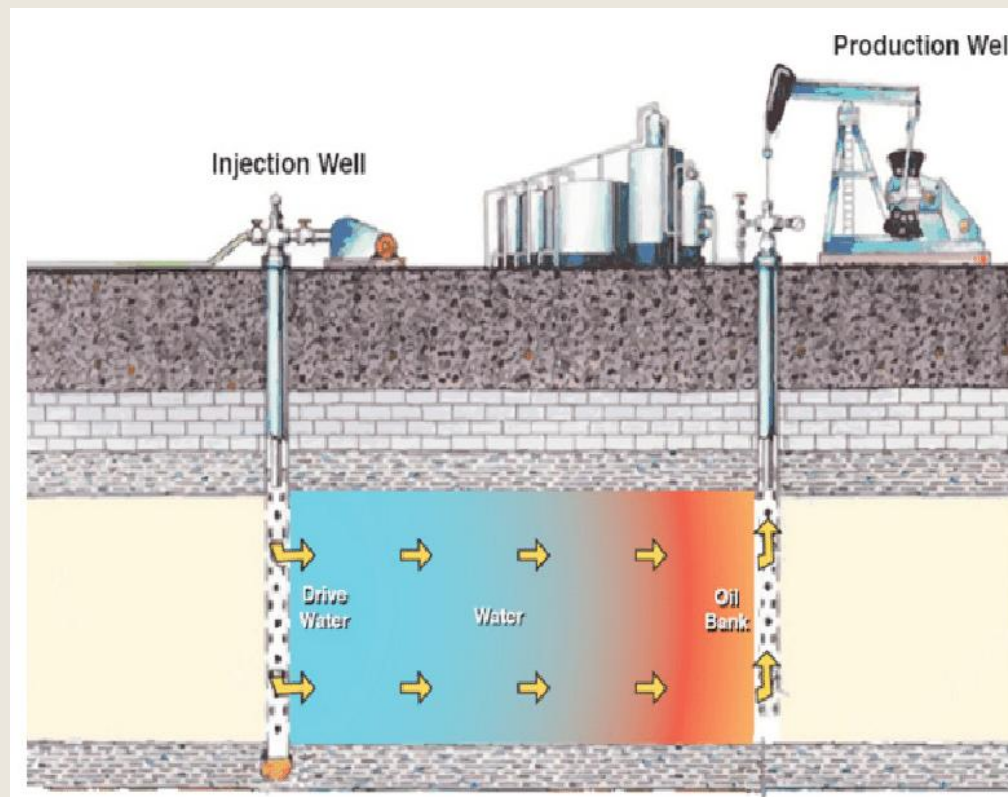


Figura 1.2. Diferentes procesos de recobro de petróleo (según Satter y Thakur<sup>3</sup>).

# Conceptos

- La Recuperación Secundaria de Petróleo se refiere a la recuperación adicional que resulta de la inyección un fluido inmiscible (agua/gas)

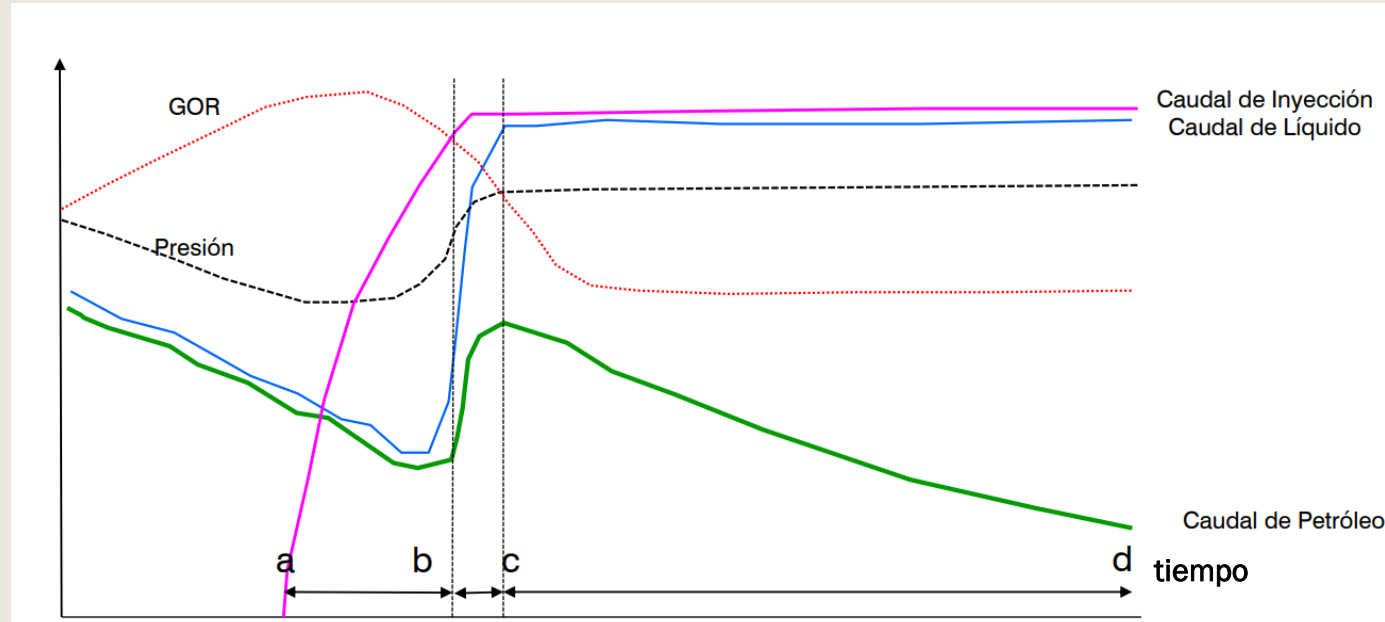


Esquema de un waterflooding

# Objetivos

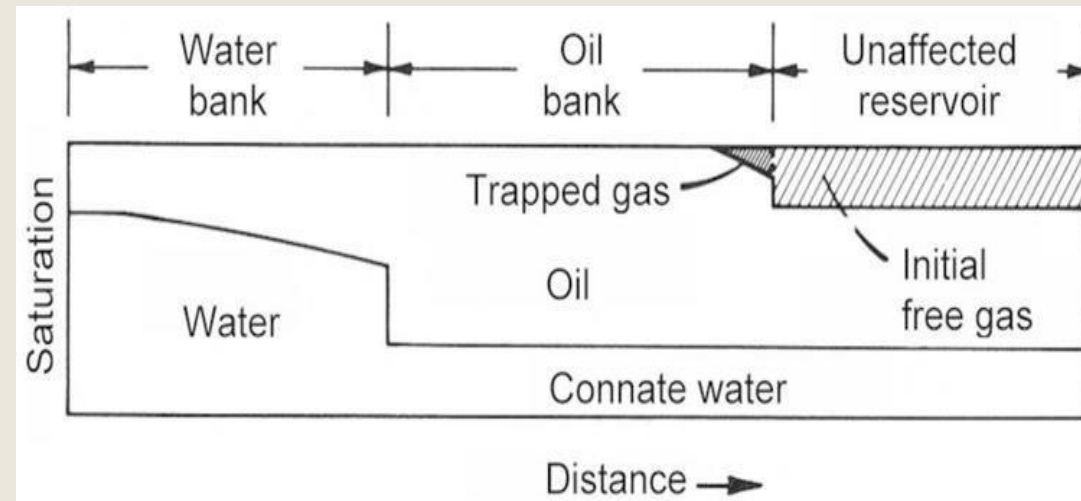
- Inyectar agua / gas para:
  - Mantener la presión del reservorio  $P_r \approx P_b$
  - Desplazar petróleo

# Respuesta típica de un proyecto de inyección de agua



- a-b: Período de llenado (sin respuesta); atenuación en la caída de presión, disminución GOR
- b-c: Período de incremento de producción: incremento de la presión, importante caída de GOR
- c: Pico de producción, comienzo del período de balance entre producción e inyección
- c-d: Período de declinación de la producción de petróleo, mantenimiento de la presión, alta producción de líquido y bajo GOR

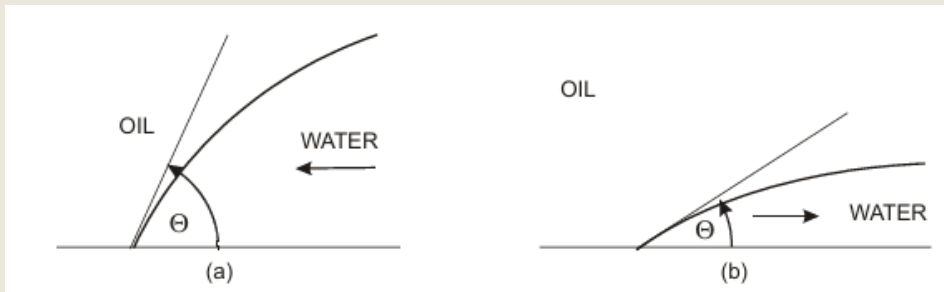
# Perfil de saturación de agua vs distancia



Perfil de saturación de agua durante un waterflooding

# Consideraciones del desplazamiento inmiscible

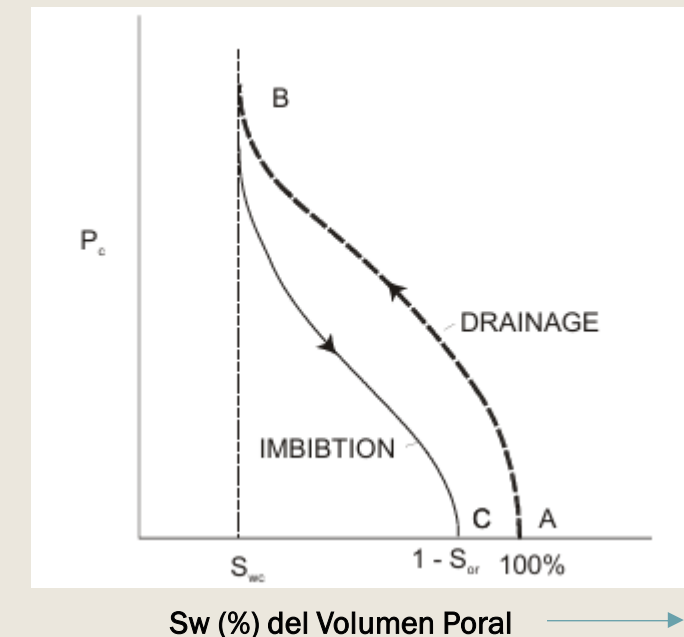
- El agua desplaza al petróleo en un reservorio mojado por agua.



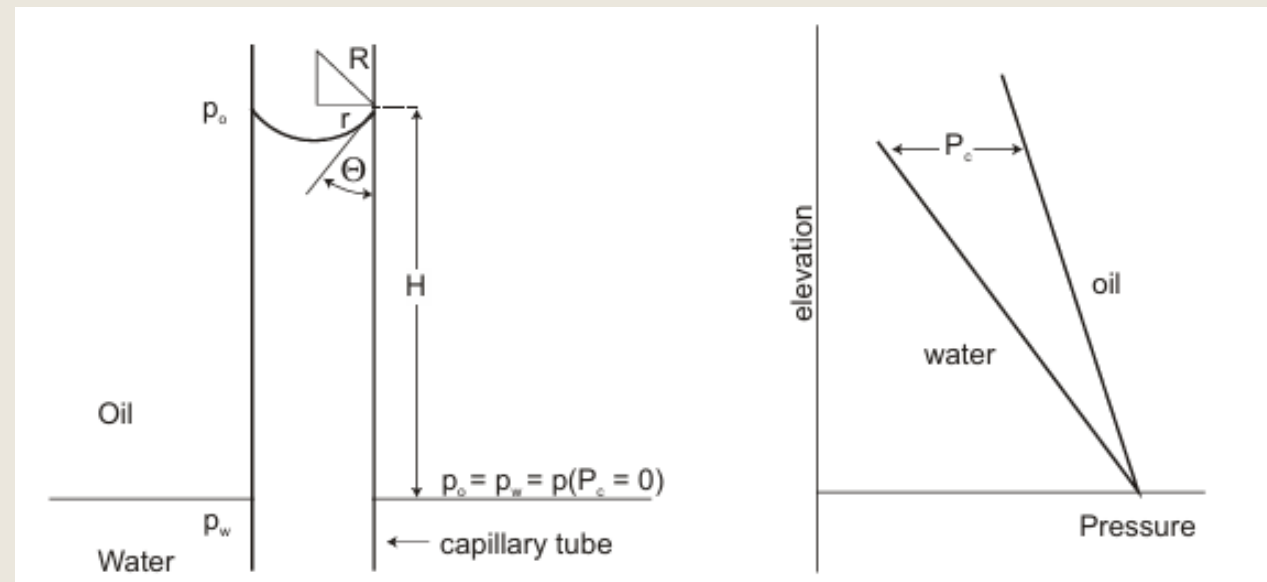
Histéresis en el ángulo de contacto en un reservorio mojante al agua, (a) fase mojante aumentando (imbibición); (b) fase mojante disminuyendo (drenaje)

La Recuperación Secundaria es un proceso de imbibición.

Por lo tanto las curvas de  $P_c$  y  $k_r$  deben ser medidas en condiciones de imbibición.



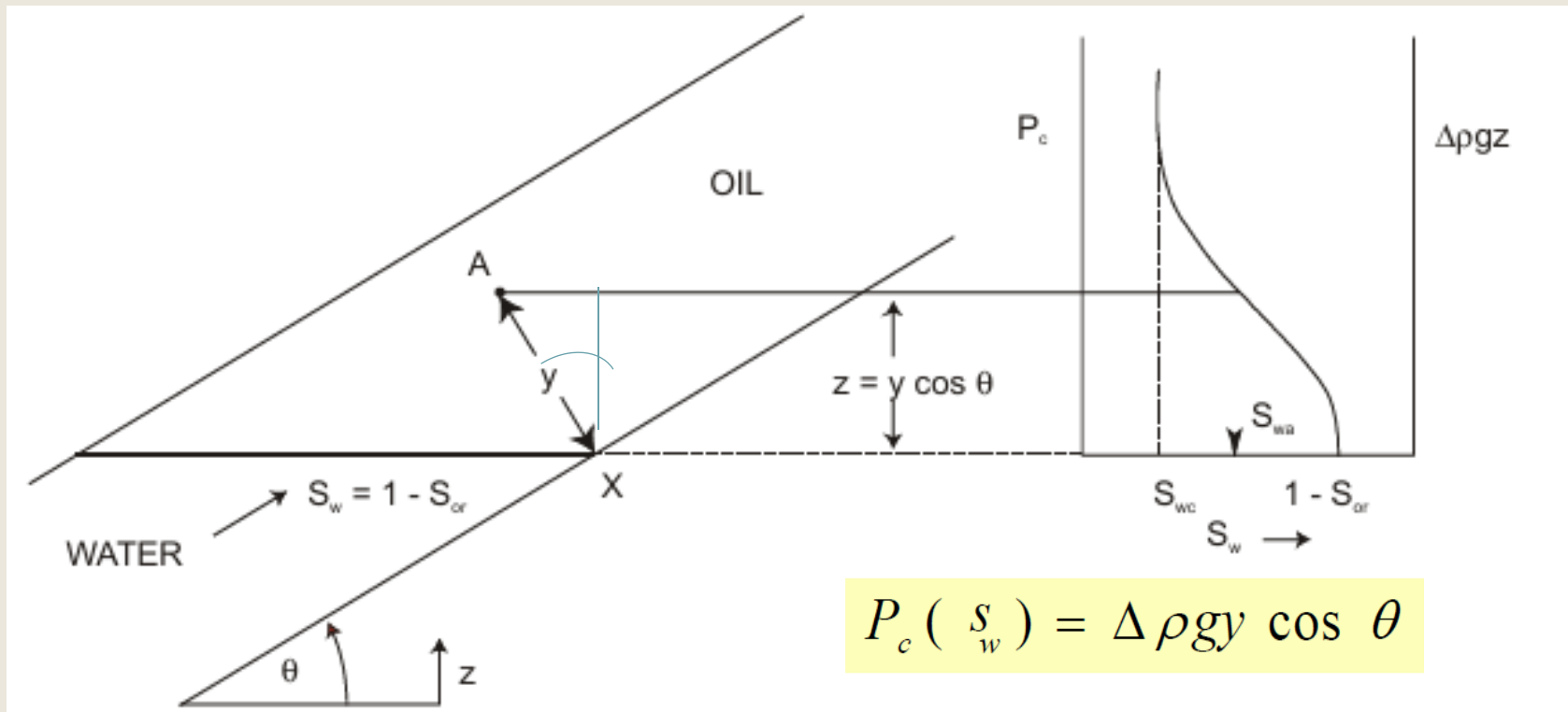
# Consideraciones del desplazamiento inmiscible



Experimento del tubo capilar para un sistema W-O

$$p_o - p_w = P_c = \frac{2\sigma \cos \Theta}{r} = \Delta \rho g h$$

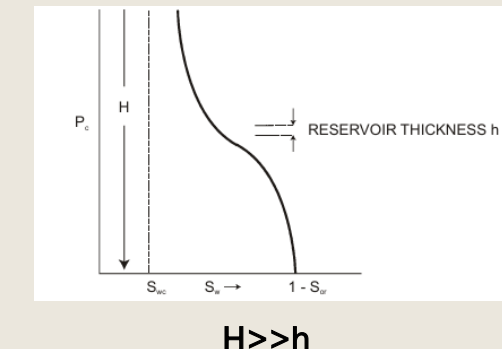
# Consideraciones del desplazamiento inmiscible



Determinación de la  $S_w$  como una función del espesor del reservorio sobre el plano de máxima saturación de agua,  $S_w=1-S_{oF}$

# Consideraciones del desplazamiento inmiscible

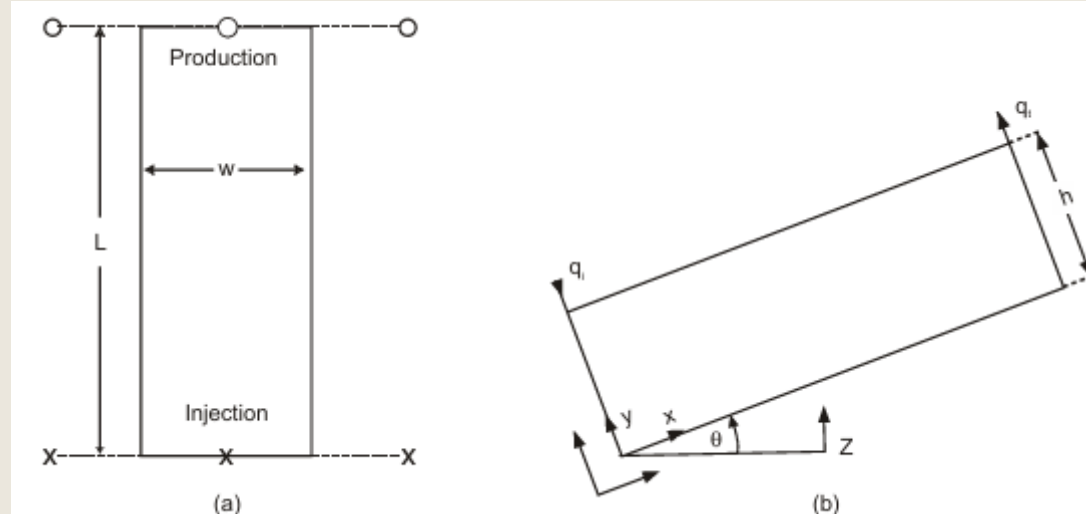
- El desplazamiento puede ocurrir o no bajo condiciones de equilibrio vertical.
  - Permeabilidad vertical grande ( $k_v$ )
  - Espesor reservorio pequeño ( $h$ )
  - Diferencia de densidades entre fluidos grande ( $\Delta_p$ )
  - Fuerzas capilares elevadas, esto es zona de transición ( $H$ ) grande.
  - Viscosidades bajas de los fluidos
  - Bajos caudales de inyección



# Consideraciones del desplazamiento inmiscible

- El desplazamiento se considera incompresible y lineal.

$$q_t = q_o + q_w = q_i$$



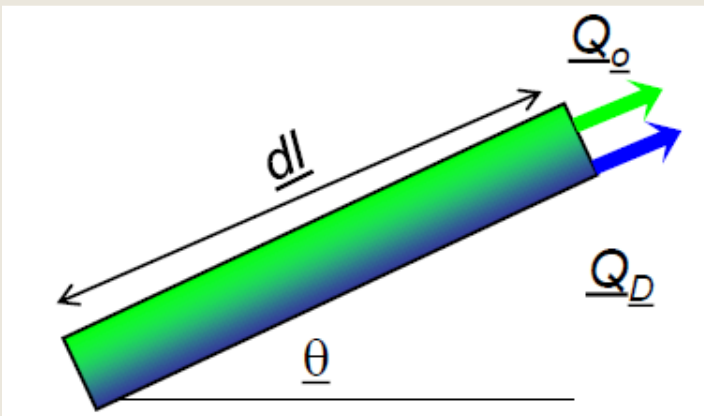
Modelo lineal de reservorio, (a) vista en planta, (b) sección transversal

# Teoría del desplazamiento frontal

- Ecuación de flujo fraccional
- Ecuación de desplazamiento frontal

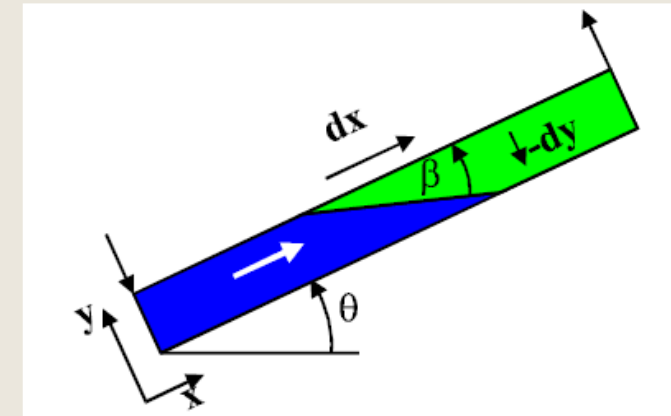
# Tipos de flujo

Flujo Difuso



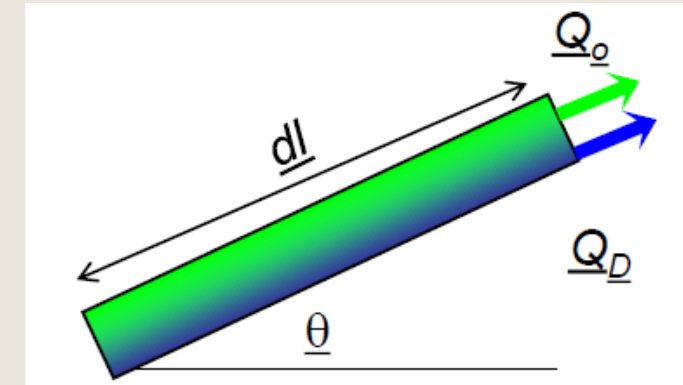
Dos fases móviles en una sección de flujo

Flujo Segregado



Sólo una fase móvil en una sección de flujo

# Flujo fraccional

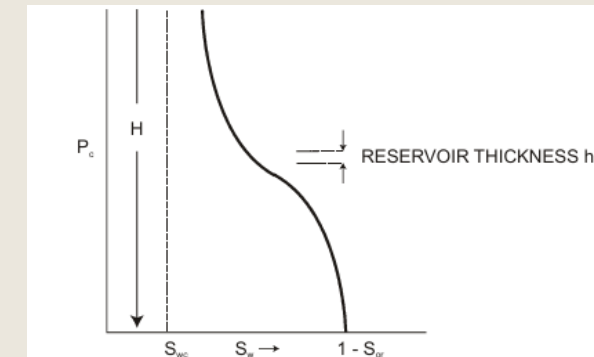


- Para derivar la ecuación de Flujo Fraccional se asume que el desplazamiento tiene lugar bajo la condición de **flujo difuso**. Esto es que las saturaciones de los fluidos, en cualquier punto de la trayectoria del desplazamiento lineal, se distribuyen uniformemente con respecto al espesor. Esto permite que el desplazamiento pueda ser descripto matemáticamente en una dimensión. El flujo simultáneo de petróleo y agua pueden ser modelados usando  $k_r$  promediadas en el espesor a lo largo de la línea central del reservorio.

# Flujo fraccional

## ■ Flujo Difuso

- Se presenta a caudales de inyección muy elevados. (fuerzas capilares y gravitatorias despreciables). No se cumple equilibrio vertical.
- A caudales bajos donde el espesor de la zona de transición es mucho mayor que el espesor del reservorio ( $H \gg h$ ). Hay equilibrio vertical y  $S_w$  se distribuye uniformemente en el espesor.



$H \gg h$

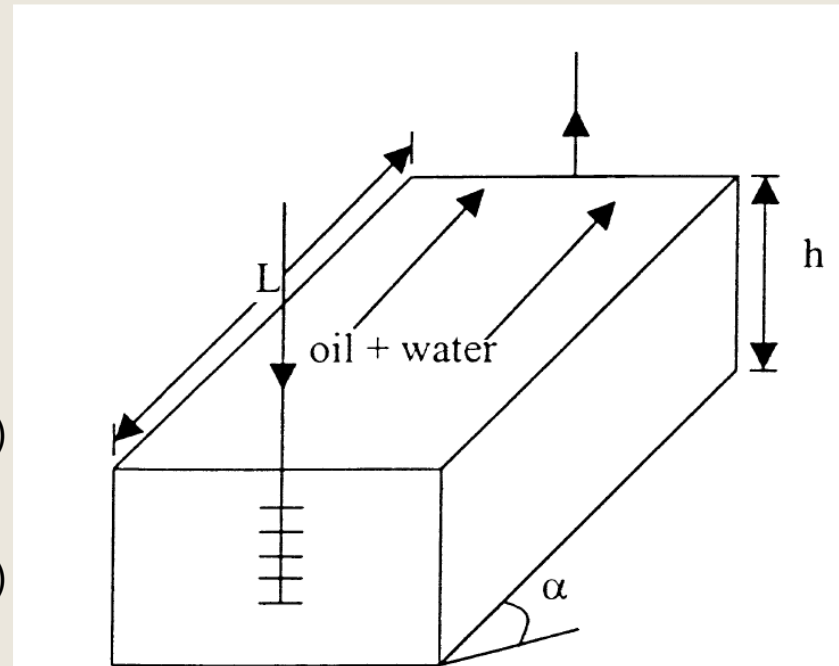
# Flujo fraccional

- Para dos fluidos inmiscibles, petróleo y agua, se define el flujo fraccional de agua,  $f_w$  (o de cualquier otro fluido desplazante inmisible) como el cociente entre el caudal de agua y el caudal total.

$$f_w = \frac{q_w}{q_t} = \frac{q_w}{q_w + q_o}$$

$$q_o = \frac{-k_o A}{\mu_o} \left[ \frac{\partial P_o}{\partial x} + g \rho_o \sin(\alpha) \right] \quad (1)$$

$$q_w = \frac{-k_w A}{\mu_w} \left[ \frac{\partial P_w}{\partial x} + g \rho_w \sin(\alpha) \right] \quad (2)$$



Desplazamiento lineal en un sistema inclinado

# Flujo fraccional

- Restando (1) y (2)

$$\frac{q_w \mu_w}{Ak_w} - \frac{q_o \mu_{ow}}{Ak_o} = \left( \frac{\partial p_o}{\partial x} - \frac{\partial p_w}{\partial x} \right) - g(\rho_w - \rho_o) \sin \alpha \quad (3)$$

- Considerando la  $P_c$  y diferenciando según  $x$

$$P_c = p_o - p_w$$

$$\frac{\partial p_c}{\partial x} = \frac{\partial p_o}{\partial x} - \frac{\partial p_w}{\partial x} \quad (4)$$

# Flujo fraccional

- Combinando (3) y (4)

$$\frac{q_w \mu_w}{A k_w} - \frac{q_o \mu_o}{A k_o} = \frac{\partial p_c}{\partial x} - g \Delta \rho \sin(\alpha)$$

- $\Delta \rho = \rho_w - \rho_o$

$$q_w = f_w q_t \text{ and } q_o = (1 - f_w) q_t$$

$$f_w = \frac{1 + \left( \frac{k_o A}{\mu_o q_t} \right) \left[ \frac{\partial p_c}{\partial x} - g \Delta \rho \sin(\alpha) \right]}{1 + \frac{k_o}{k_w} \frac{\mu_w}{\mu_o}}$$

# Flujo fraccional

## ■ En unidades de campo

$$f_w = \frac{1 + \left( \frac{0.001127 k_o A}{\mu_o q_t} \right) \left[ \frac{\partial p_c}{\partial x} - 0.433 \Delta \rho \sin(\alpha) \right]}{1 + \frac{k_o}{k_w} \frac{\mu_w}{\mu_o}}$$

$f_w$ = flujo fraccional (water cut), bbl/bbl

$k_o$ =permeabilidad efectiva de petróleo, mD

$k_w$ =permeabilidad efectiva de agua, mD

$\Delta \rho$ =diferencia densidades W/O, g/cm<sup>3</sup>

$q_t$ =caudal total, bbl/d

$\mu_o$ =viscosidad del petróleo, cP

$\mu_w$ =viscosidad del agua, cP

# Flujo fraccional

$$f_w = \frac{1 + \left( \frac{0.001127(kk_{ro})A}{\mu_o i_w} \right) \left[ \frac{\partial p_c}{\partial x} - 0.433\Delta\rho \sin(\alpha) \right]}{1 + \frac{k_{ro}}{k_{rw}} \frac{\mu_w}{\mu_o}}$$

Donde  $q_t = i_w$

$k_o = k.kr_o$  y  $k_w = k.kr_w$

✓ En cualquier punto del reservorio  $f_w + f_o = 1$

# Flujo fraccional

$$f_w = \frac{1 + \left( \frac{0.001127(kk_{ro})A}{\mu_o i_w} \right) \left[ \frac{\partial p_c}{\partial x} - 0.433\Delta\rho \sin(\alpha) \right]}{1 + \frac{k_{ro}}{k_{rw}} \frac{\mu_w}{\mu_o}}$$

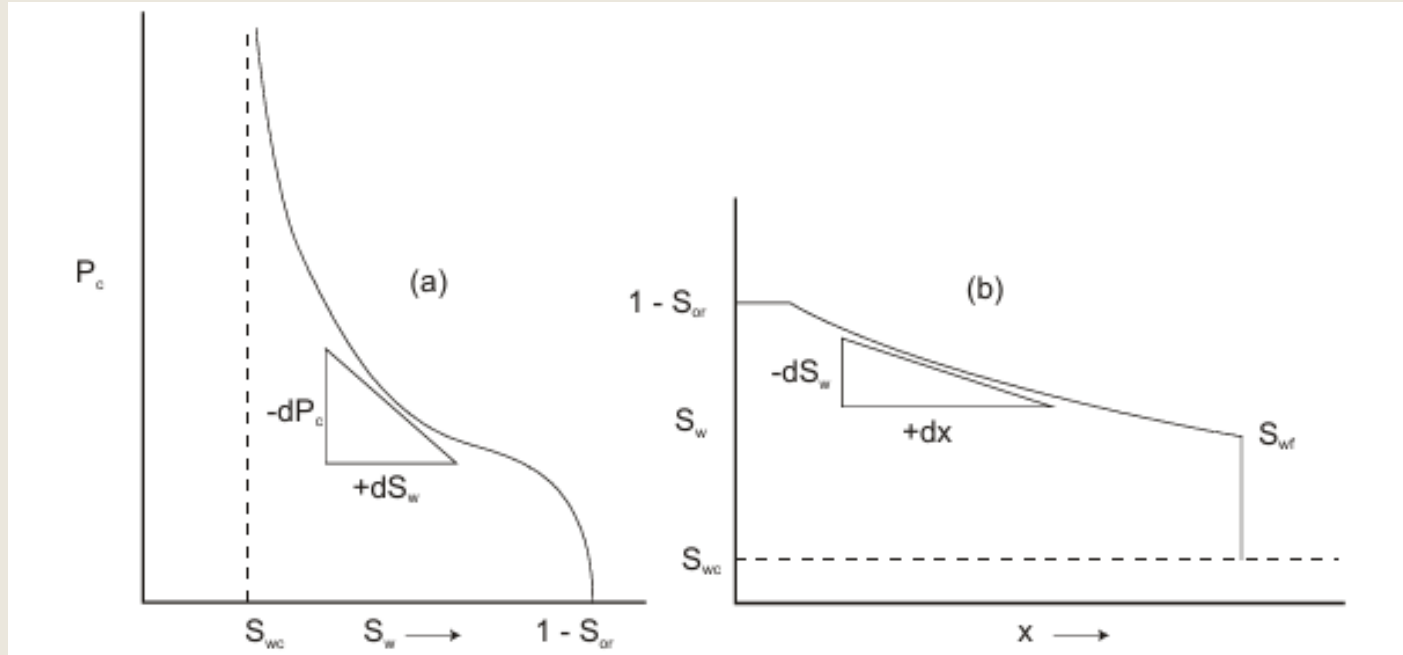
$$f_w = \frac{1}{1 + \frac{\mu_w}{k_{rw}} \cdot \frac{k_{ro}}{\mu_o}}$$

Forma simplificada-condiciones  
reservorio

$$f_{ws} = \frac{1}{1 + \frac{B_w}{B_o} \left( \frac{1}{f_w} - 1 \right)}$$

fw condiciones superficie

# Flujo fraccional-Efecto de la $P_c$



$$f_w = \frac{1 + \frac{kk_{ro}A}{q_t\mu_o} \left( \frac{\partial P_c}{\partial x} - \frac{\Delta\rho g \sin\theta}{1.0133 \times 10^6} \right)}{1 + \frac{\mu_w}{k_{rw}} \cdot \frac{k_{ro}}{\mu_o}}$$

$$\frac{\partial P_c}{\partial x} = \frac{dP_c}{dS_w} \cdot \frac{\partial S_w}{\partial x}$$

(+) ∴ siempre ↑  $f_w$

# Efecto de la movilidad sobre la velocidad de barrido

$$M = \lambda_w / \lambda_o = \frac{k_w @ S_{or} / \mu_w}{k_o @ S_{wir} / \mu_o}$$

$$\text{MOV} = PV(1 - S_{or} - S_{wc})$$

- Si  $M \leq 1$  ( $\mu_o \downarrow$ ) desplazamiento tipo pistón. Todo el MOV es recuperado por la inyección de un volumen equivalente de agua.
- Si  $M > 1$  ( $(\mu_o \uparrow)$ ) muchos MOV equivalentes de agua para recuperar 1 MOV de petróleo.

$$v = \frac{k_{med} \Delta p}{\mu_{med} L} = \frac{\Delta p}{\frac{\mu_w L_w}{kk'_{rw}} + \frac{\mu_o L_o}{kk'_{ro}}}$$

$$v = \frac{kk'_{rw}}{\mu_w} \frac{\Delta p}{L} - \frac{\frac{L_w}{L}}{\frac{L_w}{L} + \frac{L_o}{L}}$$

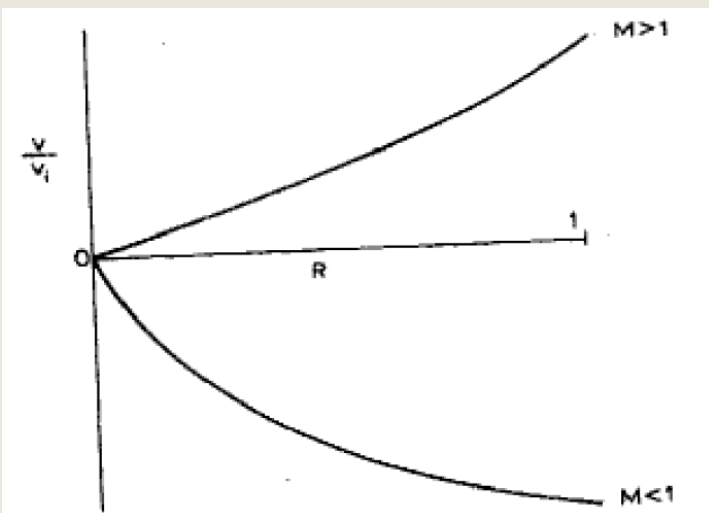
# Efecto de la movilidad sobre la velocidad de barrido

$$v_i = \frac{kk_{ro}}{\mu_o} \frac{\Delta p}{L}$$

$$\frac{v}{v_i} = \frac{M}{R + M(1 - R)}$$

$$L_w/L = R$$

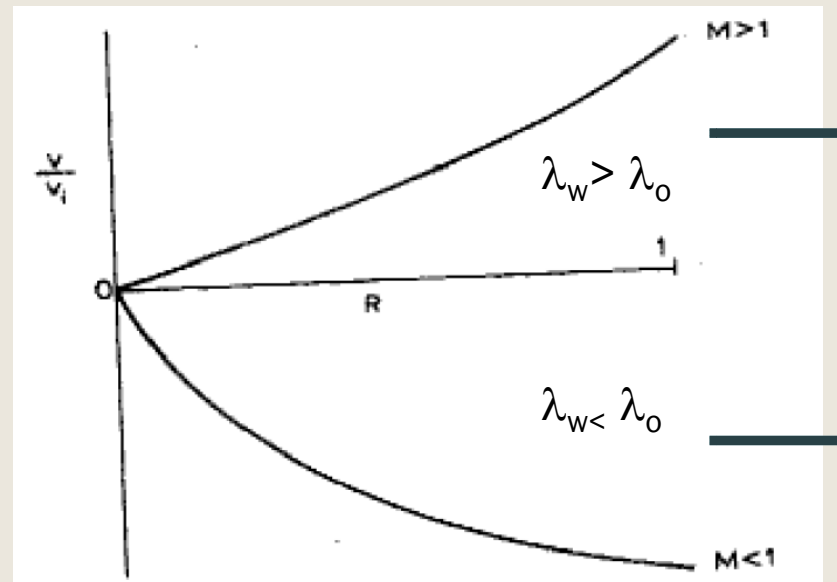
$$L_o/L = 1 - R$$



$$\frac{v}{v_i} = \frac{M}{R + M(1 - R)}$$

a medida que el flujo progresá  $R \rightarrow 1$  y por lo tanto  $v/v_i \rightarrow M$

# Efecto de la movilidad sobre la velocidad de barrido



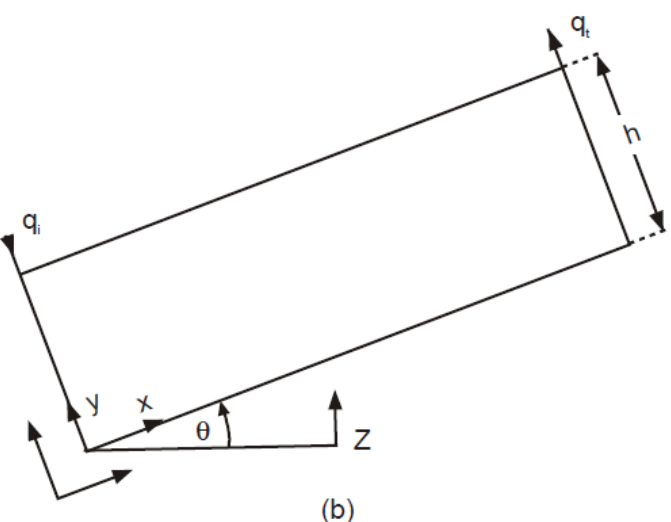
Es más fácil inyectar agua a medida que progresá el barrido

Barrido lento

Para  $M < 1$  conviene inyectar agua por debajo de la columna de petróleo o periféricamente.

En reservorios fallados, sin comunicación con el acuífero, o de baja  $k$ , se debe inyectar en la columna de petróleo.

# Flujo fraccional-Efecto del buzamiento



Sistema inclinado

$$f_w = \frac{1 + \frac{kk_{ro}A}{q_t\mu_o} \left( \frac{\partial P_c}{\partial x} - \frac{\Delta\rho g \sin\theta}{1.0133 \times 10^6} \right)}{1 + \frac{\mu_w}{k_{rw}} \cdot \frac{k_{ro}}{\mu_o}}$$

$$\Delta\rho(+) = \rho_w - \rho_o$$

**Sistema W-O**

$$\Delta\rho(-) = \rho_g - \rho_o$$

**Sistema G-O**

Flujo ascendente (+)

$0 < \theta < \pi$      $f_w$  disminuye

Flujo descendente (-)

$\pi < \theta < 2\pi$      $f_w$  aumenta

El gas debe inyectarse en la cresta del reservorio

# Número gravitacional

$$G = \frac{Const \cdot k_o \cdot A \cdot (\rho_w - \rho_o) \operatorname{sen} \theta}{Q_t \mu_o}$$

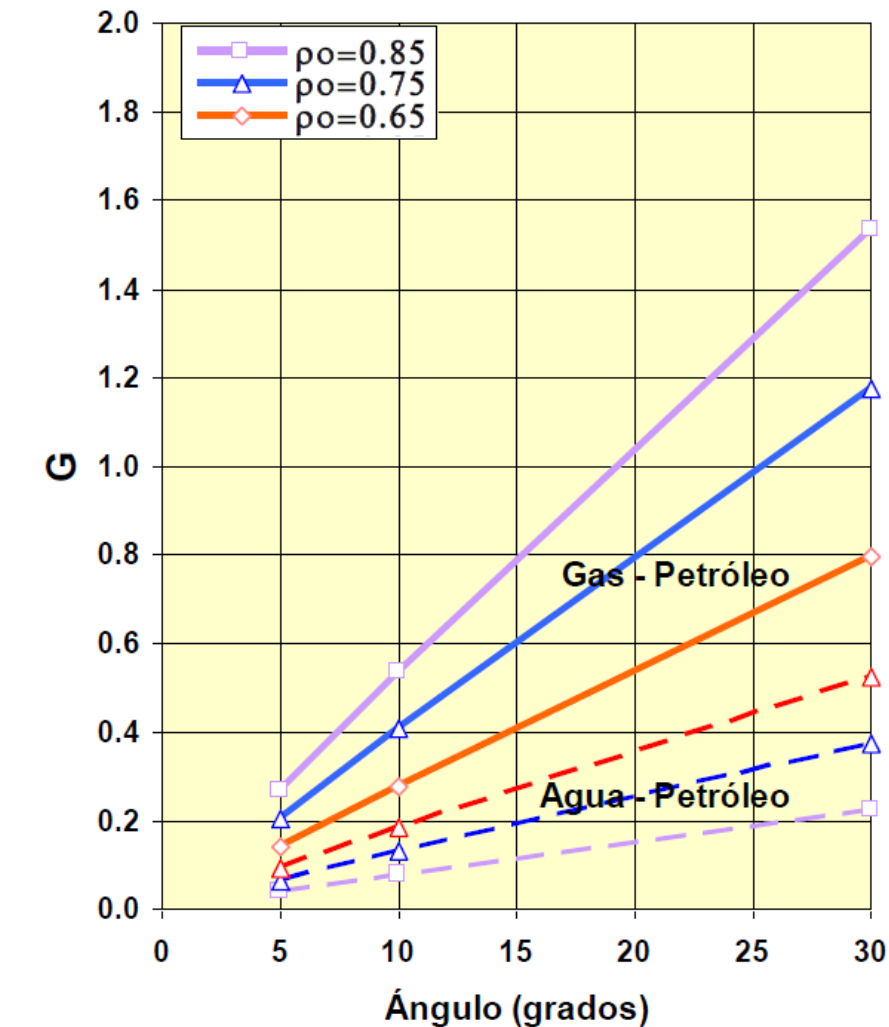
$$[k] = mD$$

$$[\rho] = g/cm^3$$

$$[\mu_o] = cP$$

Const = 0.000489      si :  $[Q_t] = bbl/d$       y :  $[A] = ft^2$

Const = 0.000836      si :  $[Q_t] = m^3/d$       y :  $[A] = m^2$

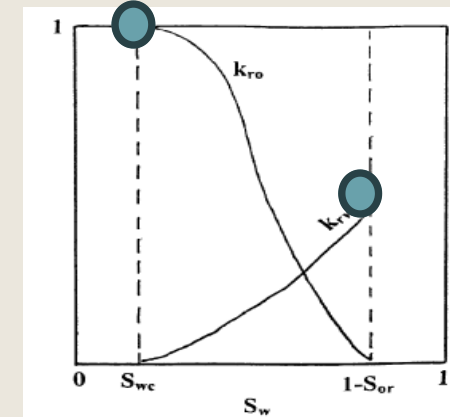
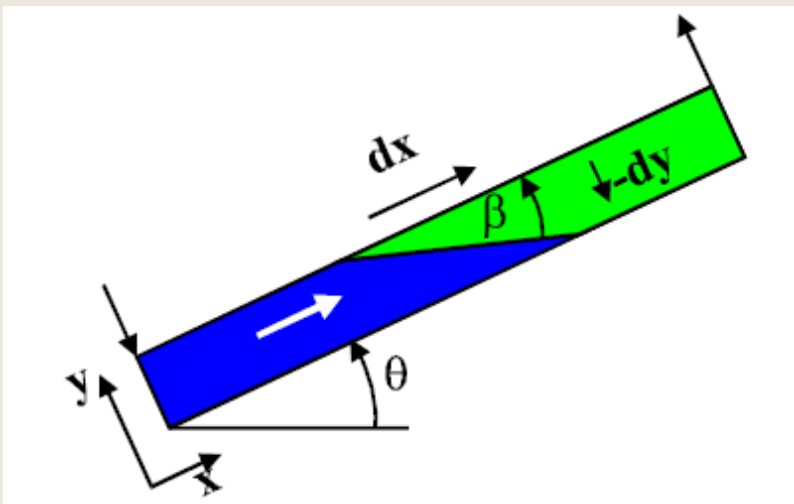


# Relación de movilidades

$$M = \lambda_w / \lambda_o = (k_w^? / \mu_w) / (k_o^? / \mu_o)$$

# Modelos de desplazamiento. Relación de movilidades

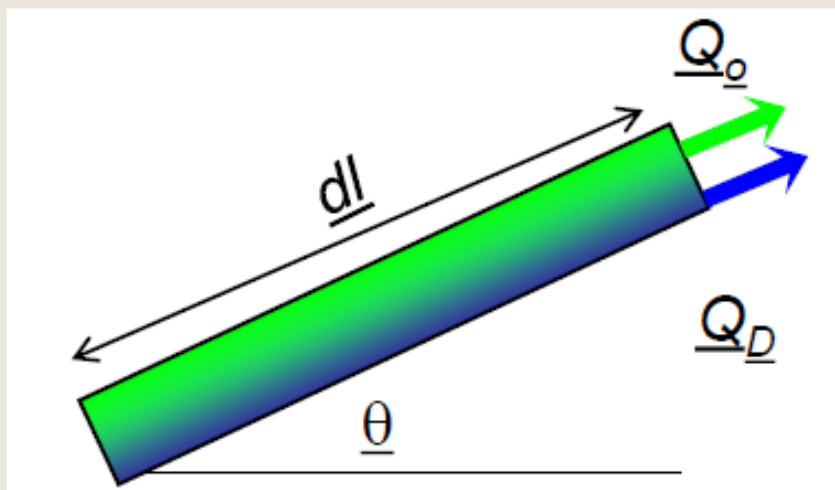
- Flujo segregado



$$M = \lambda_w / \lambda_o = \frac{k_w @ S_{or} / \mu_w}{k_o @ S_{wirr} / \mu_o}$$

# Modelos de desplazamiento. Relación de movilidades

- Flujo Difuso: las saturaciones están uniformemente distribuidas en el espesor. Se usa un modelo unidimensional. Hay pares de k a cada saturación.

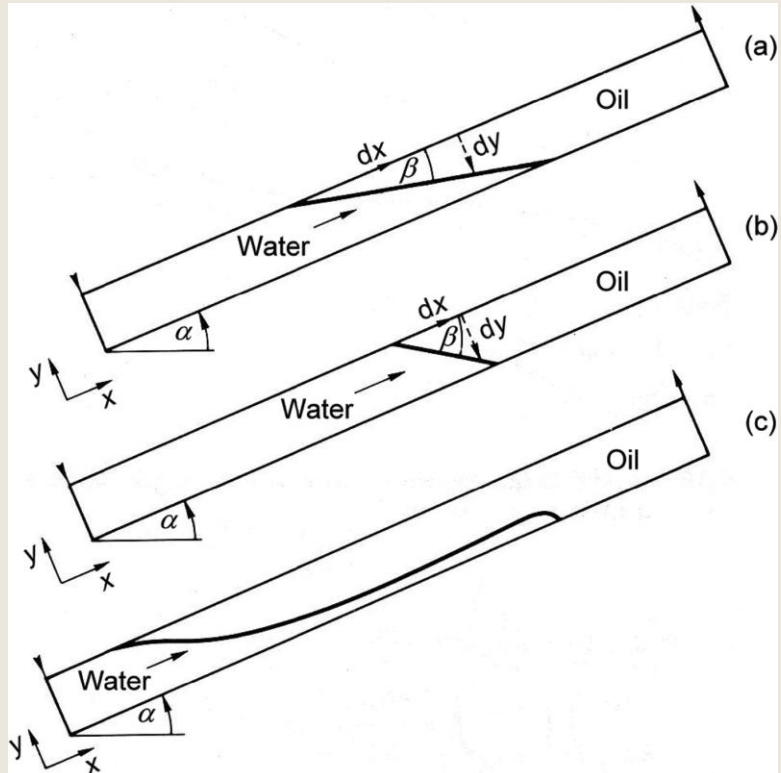


$$f_D = \frac{1 - \frac{k_o}{\mu_o v_t} \left( \frac{dPc}{dl} + g\Delta\rho \cdot \operatorname{sen}\theta \right)}{1 + \frac{\mu_D}{\mu_o} \frac{k_o}{k_D}}$$

No es M

$k_o$  y  $k_D$  se determinan al mismo valor de  $S_w$ .  
D: fase desplazante

# Condiciones de estabilidad Agua-Petróleo



Desplazamiento estable e inestable para flujo segregado en un reservorio inclinado, (a) estable:  $G > M-1$ ;  $M > 1$ ;  $\beta < \theta$ . (b) estable:  $G > M-1$ ;  $M < 1$ ;  $\beta > \theta$  (c) inestable:  $G < M-1$ .

$$\frac{dy}{dx} = -\tan\beta = \left( \frac{M-1-G}{G} \right) \tan\theta$$

Interfase estable si:  $M-1-G \leq 0$   
 $G \geq M-1$

Para  $M>1$  la interfase es estable si:  
 $G>M-1$ . ( $\beta<\theta$ )  
Para  $M\leq 1$ ,  $G>M-1$  y la interfase es  
incondicionalmente estable. ( $\beta>\theta$ )

Para  $M>1$ , la interfase es  
inestable si  
 $G\leq M-1$  ( $\beta<\theta$ )  
✓ Irrupción temprana del frente de  
agua

# Condiciones de estabilidad Agua-Petróleo

$$\blacksquare \quad M = \frac{\mu_o \times k_{rw} T}{\mu_w \times k_{ro} T}$$

- Si  $G=0.5$  para sistema W/O, water wet y  $k_{rw_T}/k_{ro_T} \approx 0.3-0.4$
- Yacimiento 2200 m de profundidad,  $T=80^\circ C$   
 $\mu_w=0.3-0.4$  cP
- $\therefore M \approx \mu_o$

En condiciones de fondo  
Piedra Clavada,  $\mu_o=200$  cP  
Golfo San Jorge,  $\mu_o = 100$  cP  
Neuquén,  $\mu_o = 3-4$  cP

Para que el frente sea estable  $G>M-1$ , necesitamos que  $M$  sea 1,5.

En muy pocos casos se cumple, por lo tanto se produce fingering.

# Velocidad crítica para que no ocurra fingering viscoso

$$Q_{wcrit} = \frac{0.000836 k_w \cdot A \cdot \Delta \rho \cdot \operatorname{sen} \theta}{\mu_w \cdot (M - 1)}$$

# Ecuación de Desplazamiento Frontal

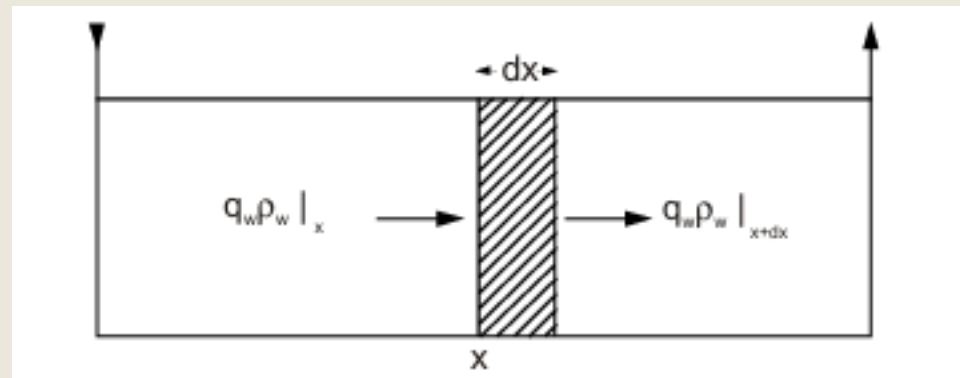
- La ecuación de  $f_w$  sirve para determinar el corte de agua en cualquier punto del reservorio, asumiendo que se conoce la  $S_w$  en ese punto.
- ¿Cómo se determina la  $S_w$  en un punto particular?

La respuesta es usando la **Ecuación de Avance Frontal**

- La Ecuación de Avance Frontal permite determinar el perfil de  $S_w$  en el reservorio a un tiempo dado durante la inyección de agua.

# Ecuación de Desplazamiento Frontal

- En 1942, Buckley y Leverett presentaron la ecuación básica que describe el desplazamiento inmiscible en una dimensión. Para agua desplazando petróleo, la ecuación determina la velocidad de un plano de saturación de agua constante desplazándose a través de un sistema lineal. Asumiendo condiciones de flujo difuso.



Caudal másico de agua fluyendo en un elemento diferencial de volumen  $A\phi x$

$$q_w \rho_w|_x - q_w \rho_w|_{x+dx} = A\phi dx \frac{\partial}{\partial t} (\rho_w S_w)$$

# Ecuación de Desplazamiento Frontal

$$q_w \rho_w \Big|_x - \left( q_w \rho_w \Big|_x + \frac{\partial}{\partial x} (q_w \rho_w) dx \right) = A\phi \ dx \frac{\partial}{\partial t} (\rho_w S_w)$$

$$\frac{\partial}{\partial x} (q_w \rho_w) = -A\phi \frac{\partial}{\partial t} (\rho_w S_w)$$

$$\frac{\partial q_w}{\partial x} \Big|_t = -A\phi \frac{\partial S_w}{\partial t} \Big|_x$$

$$dS_w = \frac{\partial S_w}{\partial x} \Big|_t \ dx + \frac{\partial S_w}{\partial t} \Big|_x \ dt$$

$$\frac{\partial S_w}{\partial t} \Big|_x = -\frac{\partial S_w}{\partial x} \Big|_t \frac{dx}{dt} \Big|_{S_w}$$

# Ecuación de Desplazamiento Frontal

- $W_i$  = es el agua inyectada acumulada y se asume como condición inicial que  $W_i=0$  cuando  $t=0$ . La posición de planos de saturación de agua diferentes puede graficarse determinando la pendiente de la curva de flujo fraccional para el valor particular de cada saturación.

$$\left. \frac{\partial q_w}{\partial x} \right|_t = \left( \frac{\partial q_w}{\partial S_w} \cdot \frac{\partial S_w}{\partial x} \right)_t$$

$$\left. \frac{\partial q_w}{\partial S_w} \right|_t = A\phi \left. \frac{dx}{dt} \right|_{S_w}$$

$$v_{S_w} = \left. \frac{dx}{dt} \right|_{S_w} = \frac{q_t}{A\phi} \left. \frac{df_w}{dS_w} \right|_{S_w}$$

$$x_{S_w} = \frac{1}{A\phi} \left. \frac{df_w}{dS_w} \right|_{S_w} \int_0^t q_t dt$$

or

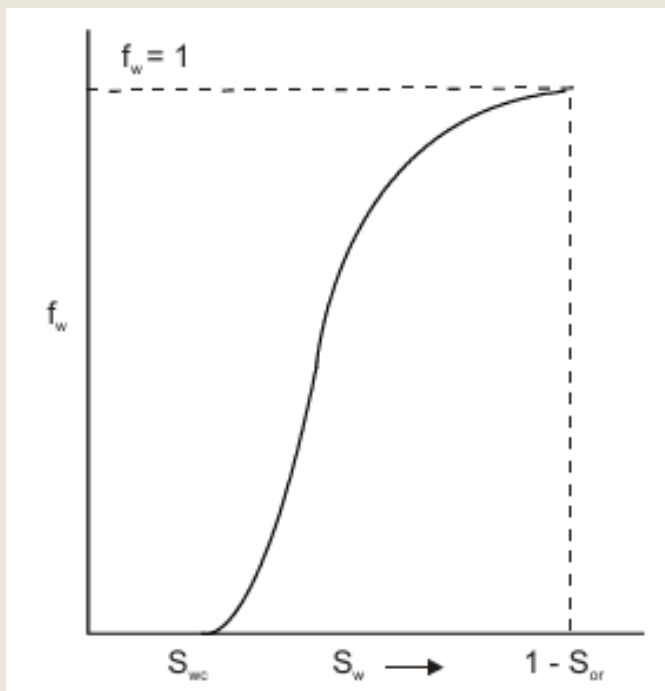
$$x_{S_w} = \frac{W_i}{A\phi} \left. \frac{df_w}{dS_w} \right|_{S_w}$$

$$W_i = i_w \cdot t$$

$W_i$  = volumen de agua inyectado acumulado

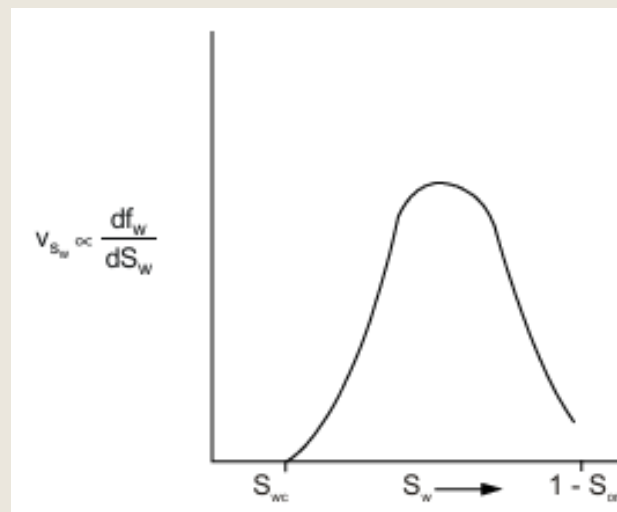
- Permite el cálculo de la  $S_w$  como función de la posición ( $x$ ) y del tiempo. Entonces con la curva de  $f_w$  vamos a poder estimar el petróleo y agua producido.

# Ecuación de Desplazamiento Frontal

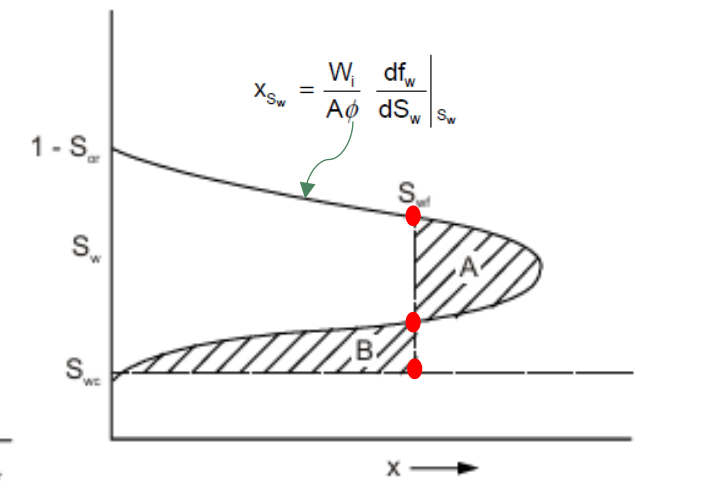


Curva típica de  $f_w$  vs  $S_w$

$$f_w = \frac{1}{1 + \frac{\mu_w}{k_w} \cdot \frac{k_{ro}}{\mu_o}}$$

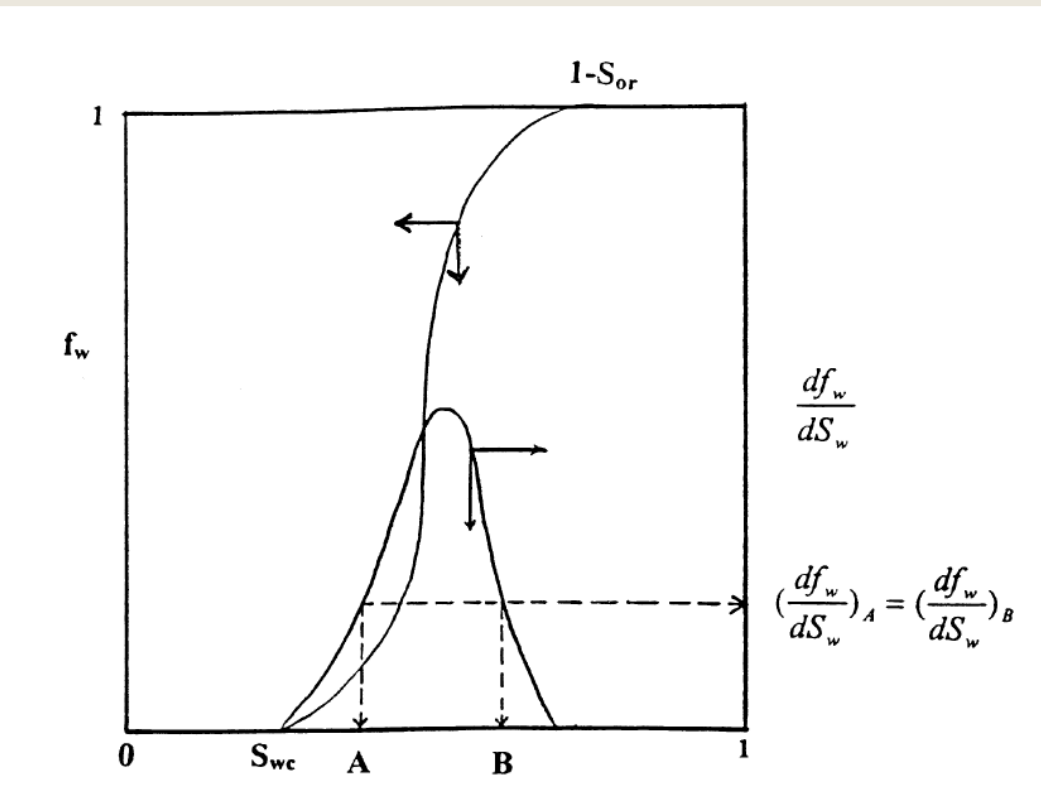


(a) Derivada del  $f_w$  vs  $S_w$  (b) distribución resultante de  $S_w$  en la trayectoria de desplazamiento.

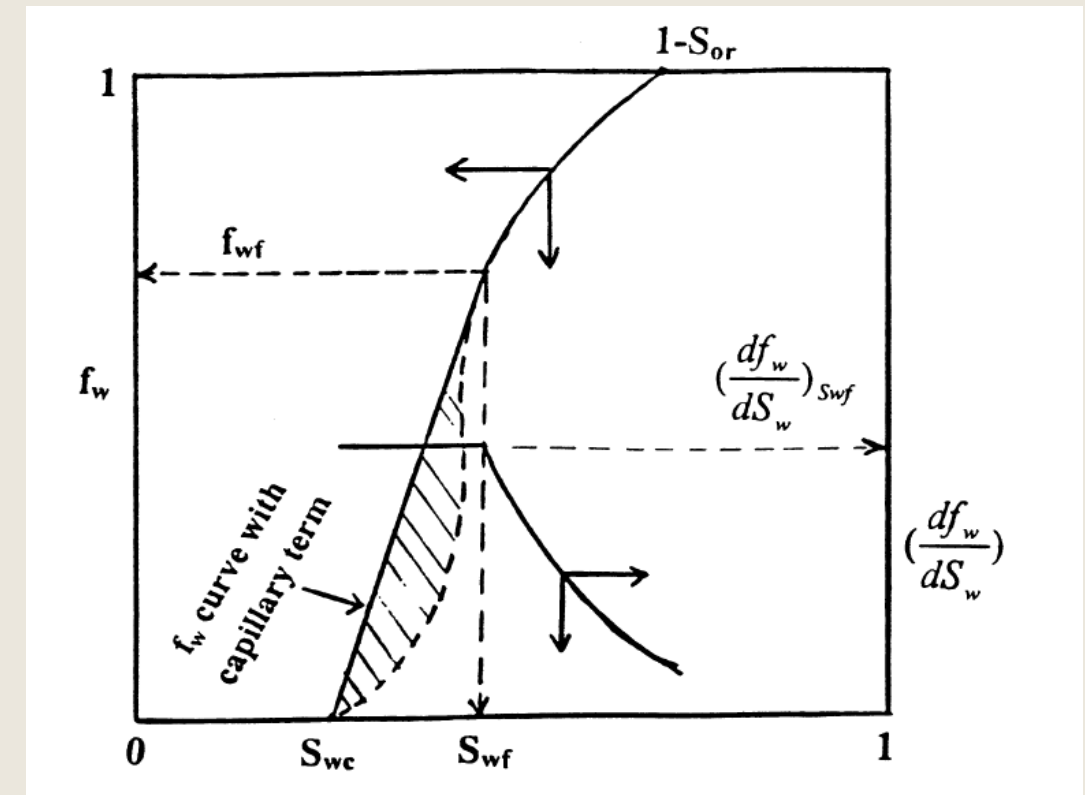


$M > 1$

# Ecuación de Desplazamiento Frontal



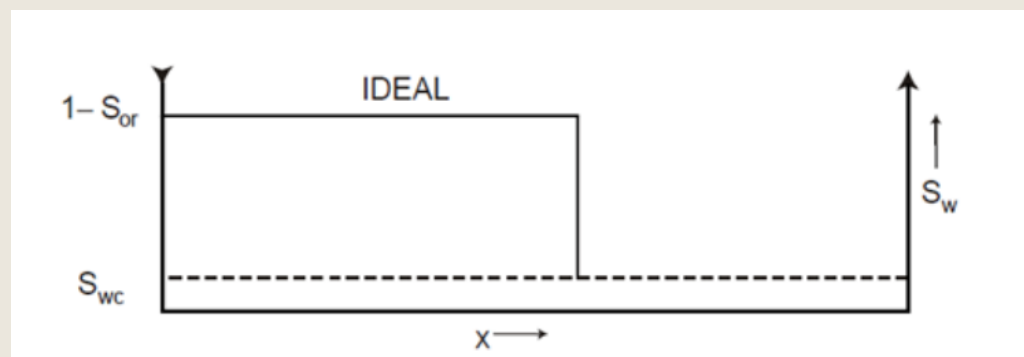
Curva de  $f_w$  y su derivada con respecto a  $S_w$



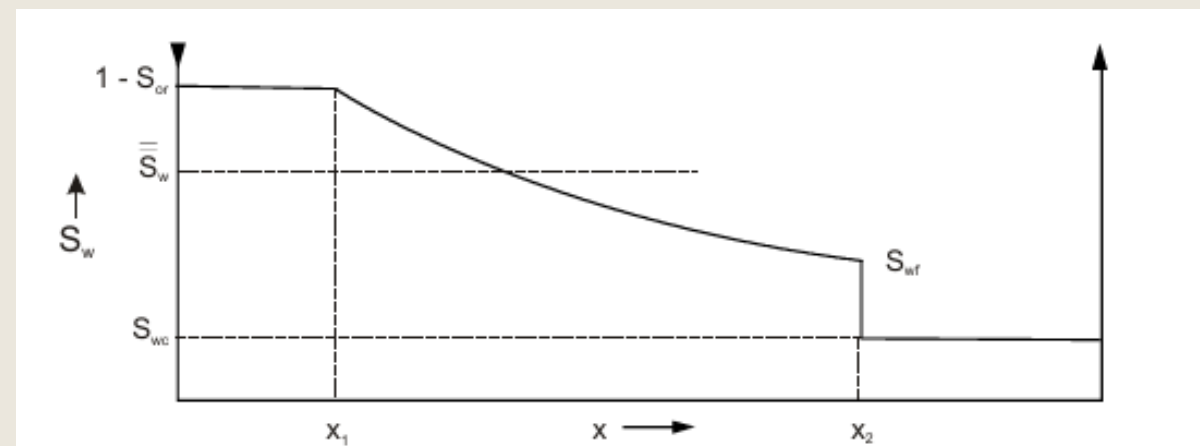
Efecto de la capilaridad en la curva de  $f_w$

# Solución de Welge

Integra la distribución de saturación en la distancia desde el pozo inyector hasta el frente y obtiene la saturación de agua promedio detrás del frente,  
 $\overline{\overline{S}_w}$



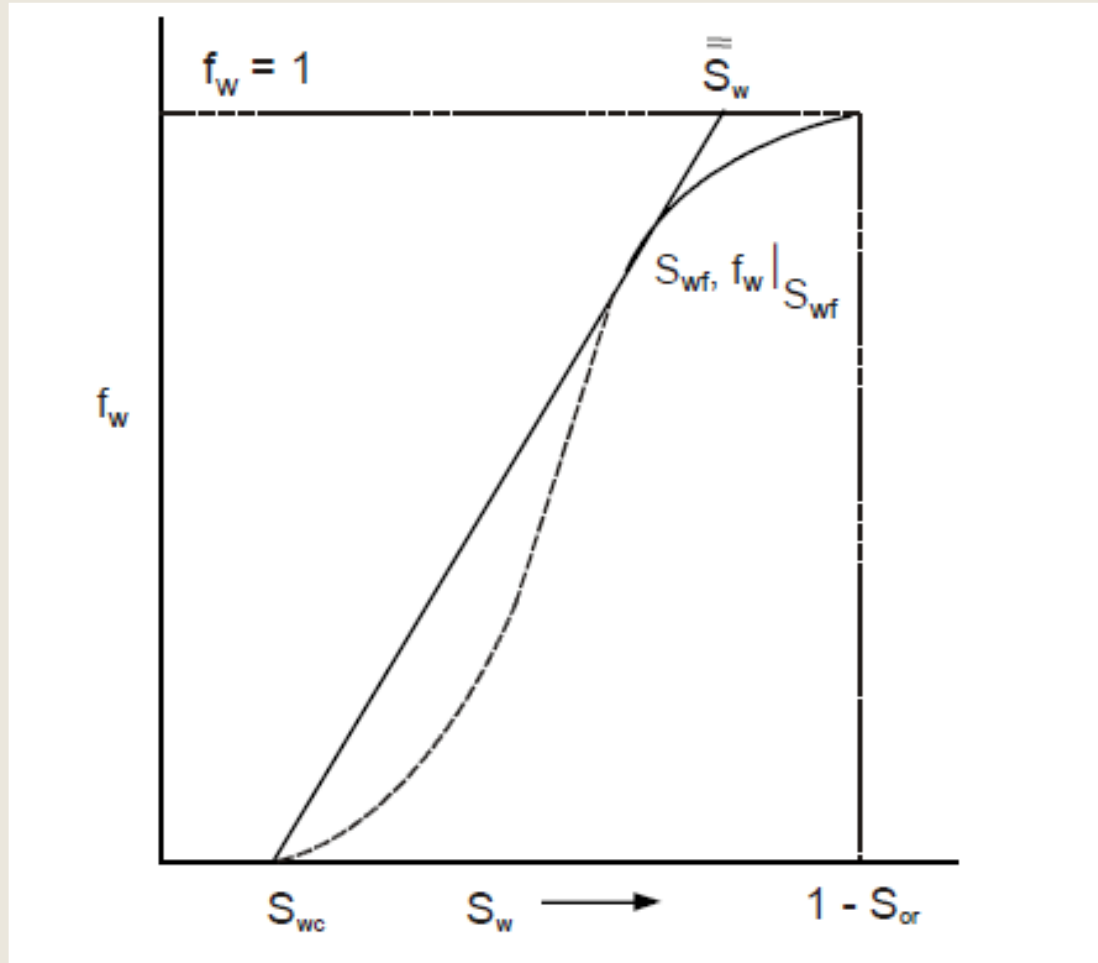
Distribución de saturación en desplazamiento ideal



Distribución de saturación de agua vs distancia, previa al BT en el pozo productor.

# Solución de Welge

$$v_{S_w} \propto \frac{df_w}{dS_w}$$



En el BT

Tangente a la curva de  $f_w$  desde  $S_w = S_{wc}$

$$\left. \frac{df_w}{dS_w} \right|_{S_{wf}} = \frac{(1-f_w) \Big|_{S_{wf}}}{\bar{\bar{S}}_w - S_{wf}} = \frac{1}{\bar{\bar{S}}_w - S_{wc}}$$

La tangente a la curva de  $f_w$  desde  $S_w = S_{wc}$ ;  $f_w = 0$ , debe tener un punto de tangencia de coordenadas  $S_{wf}, f_w|_{S_{wf}}$ , y la tangente extrapolada debe interceptar la línea  $f_w=1$  en el punto  $\bar{\bar{S}}_w, f_w=1$

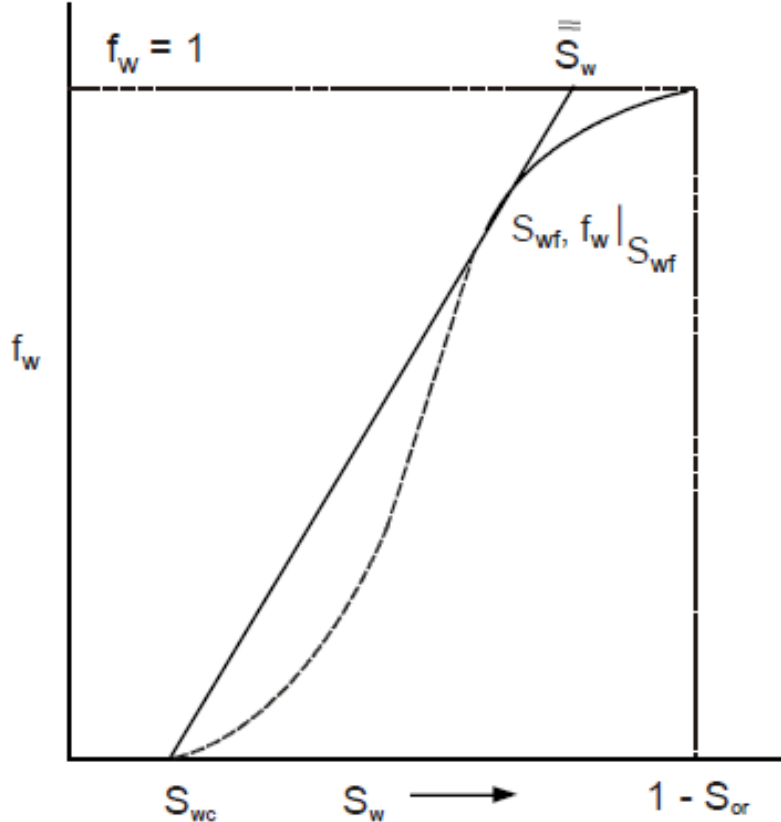
$$N_{pd} = \bar{\bar{S}}_w - S_{wc} \quad (PV)$$

$N_{pd}$ =volúmenes porales de petróleo recuperado

$$N_{pd} = \bar{\bar{S}}_w - S_{wc} = Wid$$

$M > 1$

# Solución de Welge



Este método para determinar  $S_{wf}$ ,  $f_w(S_{wf})$  y  $\bar{\bar{S}}_w$  requiere que la curva del flujo fraccional se grafique en el rango completo de saturaciones  $S_{wc} < S_w < 1 - S_{or}$

Si se ignoran efectos capilares al calcular el  $f_w$ , la parte de la curva de  $S_w < S_{wf}$  es virtual, siendo el primer punto real el de coordenadas  $S_{wf}; f_w(S_{wf})$  que corresponde al shock front.

Las saturaciones  $S_{wc} < S_w < S_{wf}$  no pueden moverse independientemente , quedando todas atrapadas en la discontinuidad de saturaciones en el frente.

# Solución de Welge: Cálculo del petróleo recuperado

## ■ En el BT

$$S_{wf} = S_{w_{bt}} \quad f_{w_{bt}} = f_w \Big|_{s_{wf}}$$

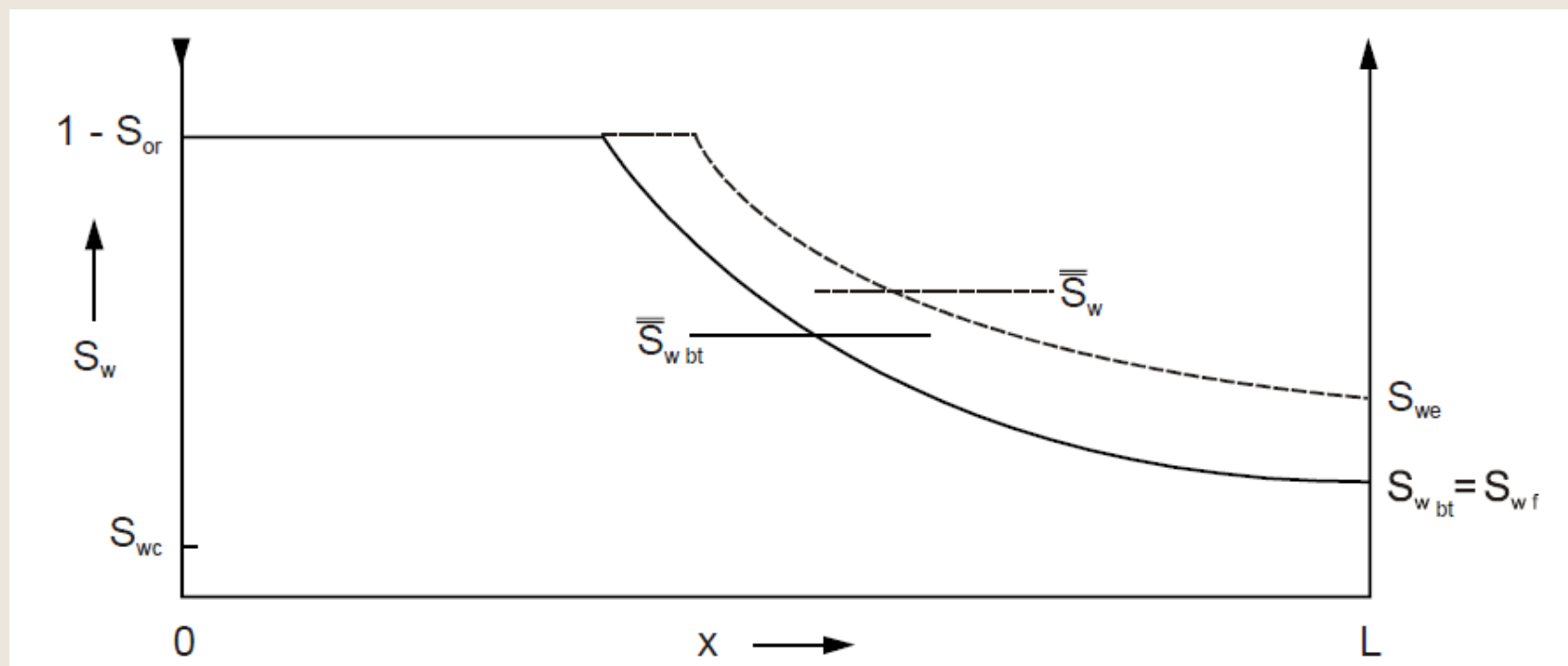
$$N_{pd_{bt}} = W_{id_{bt}} = q_{id} t_{bt} = \left( \bar{S}_{w_{bt}} - S_{wc} \right) = \frac{1}{\left. \frac{df_w}{dS_w} \right|_{S_{w_{bt}}}}$$

$$t_{bt} = \frac{W_{id_{bt}}}{q_{id}}$$

$q_{id} = q_i / LA \phi$  (PV/unidad de tiempo)

# Solución de Welge: Cálculo del petróleo recuperado

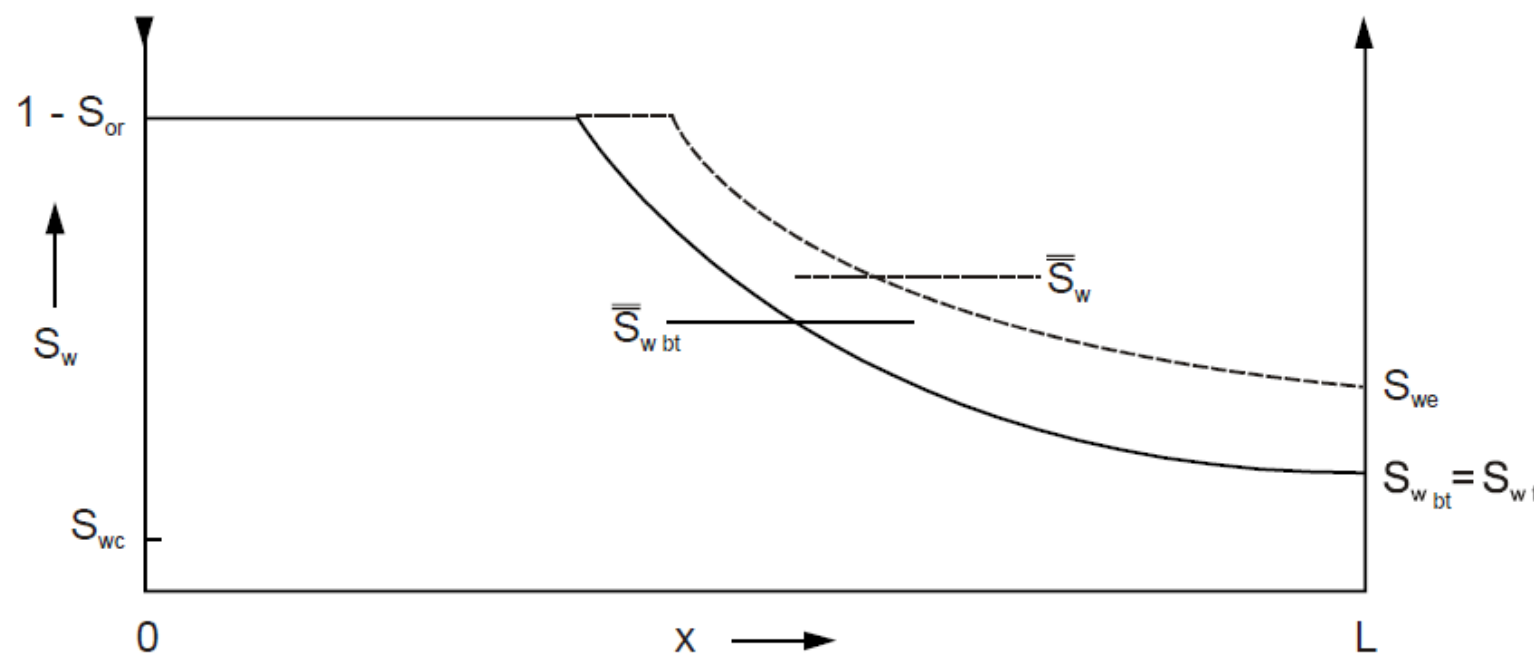
- En el BT y posterior



Distribución de la saturación de agua al BT y posterior en un flujo lineal

# Solución de Welge: Cálculo del petróleo recuperado

- En el BT y posterior



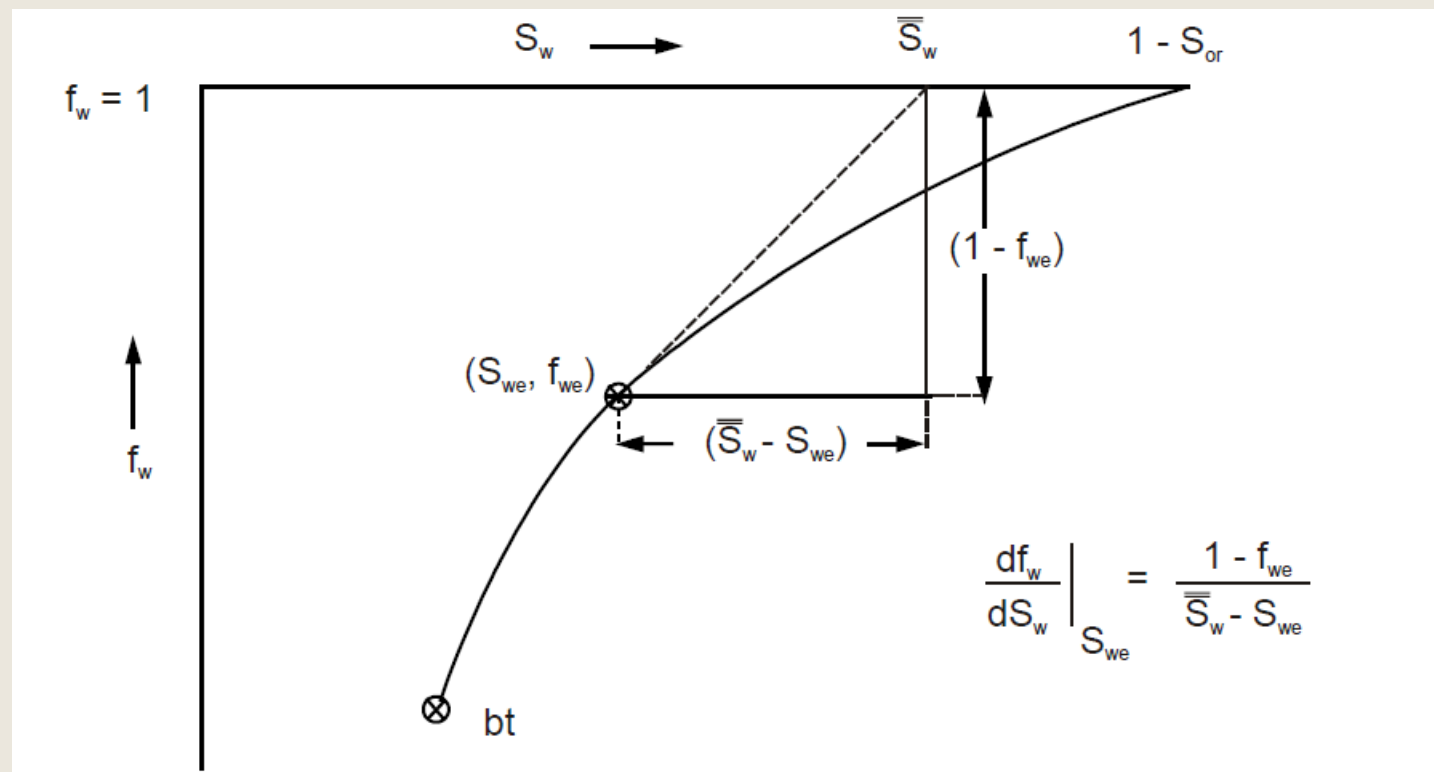
Distribución de la saturación de agua al BT y posterior en un flujo lineal

$$\frac{W_i}{LA\phi} = \left. \frac{1}{\frac{df_w}{dS_w}} \right|_{S_{we}} = W_{id}$$

$W_{id}$ : volúmenes porales de agua inyectada  
 $S_{we}$ : valor actual de  $S_w$  en el pozo productor

# Solución de Welge: Cálculo del petróleo recuperado

$$N_{pd} = \bar{S}_w - S_{wc} \quad (PV)$$



Aplicación de la técnica gráfica de Welge para determinar la recuperación de petróleo luego del BT.

# Solución de Welge: Cálculo del petróleo recuperado

## ■ Después del BT

$$\bar{\bar{S}}_w = S_{we} + (1 - f_{we}) \frac{1}{\left. \frac{df_w}{dS_w} \right|_{S_{we}}}$$

$$\bar{S}_w = S_{we} + (1 - f_{we}) W_{id}$$

$$N_{pd} = \bar{S}_w - S_{wc} = (S_{we} - S_{wc}) + (1 - f_{we}) W_{id}(PV)$$

# Actividad 1

## Aula abierta

## Ejercicio 1

a-Un petróleo está siendo desplazado por agua bajo un flujo difuso horizontal.  
Use los datos de la tabla 1 para graficar la curva de  $fw$  para los siguientes casos.

Caso 1:  $\mu_o=50 \text{ cP}$ ;  $\mu_w=0,5 \text{ cP}$

Caso 2:  $\mu_o=5 \text{ cP}$ ;  $\mu_w=0,5 \text{ cP}$

Caso 3:  $\mu_o=0,4 \text{ cP}$ ;  $\mu_w=1,0 \text{ cP}$

Ángulo de buzamiento= $0^\circ$

$B_o= 1.3 \text{ RB/STB}$

$B_w=1.0 \text{ RB/STB}$

Compare con los valores de  $fw$  en condiciones de superficie y la recuperación acumulada  $Npd_{bt}$  al BT (breakthrough) para los tres casos.

Escriba conclusiones.

b-Para evaluar la eficiencia de un waterflood calcule M (relación de movilidades) y  $M_s$  (relación de movilidades en el frente). Escriba conclusiones.

## Ejercicio 2

Considere que el sistema lineal horizontal del ejemplo anterior está bajo consideración para aplicar un proyecto de recuperación secundaria con un caudal de inyección de 1000 bbl/D. La viscosidad del petróleo se considera constante en 1 cP.

$$B_o = 1.3 \text{ RB/STB}$$

$$B_w = 1.0 \text{ RB/STB}$$

$$\rho_o = 45 \text{ lb/ft}^3$$

$$\rho_w = 64 \text{ lb/ft}^3$$

$$K = 50 \text{ mD}$$

$$\mu_w = 0.5 \text{ cP}$$

$$A_{\text{transversal}} = 25000 \text{ ft}^2$$

Calcular la curva de  $f_w$  para el reservorio con buzamientos de 10, 20 y 30°, asumiendo flujo ascendente y flujo descendente.

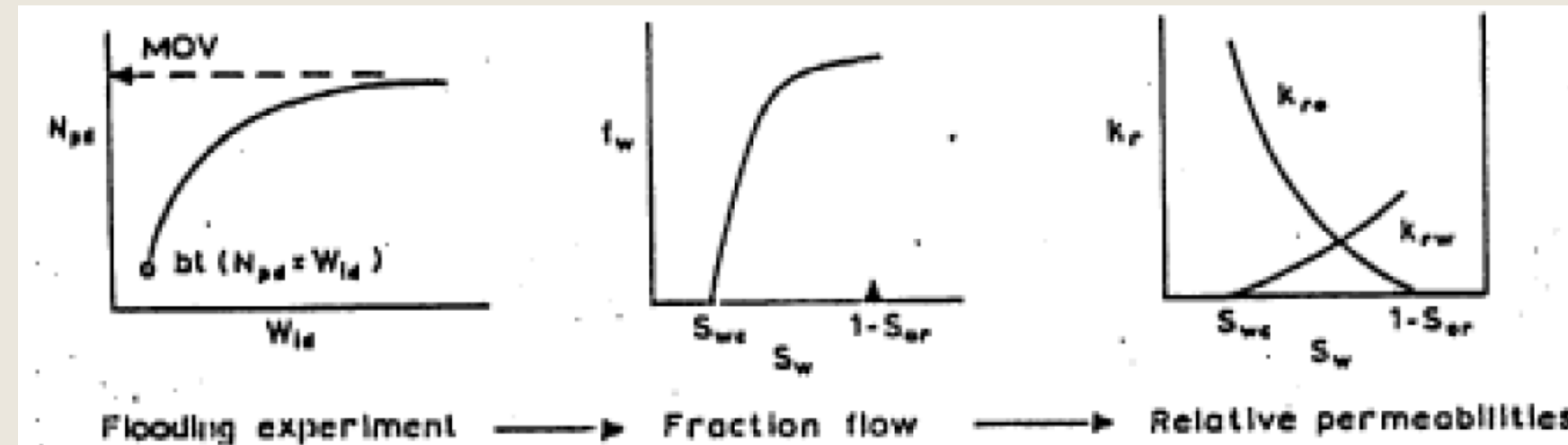
Escriba conclusiones.

# Actividad 2

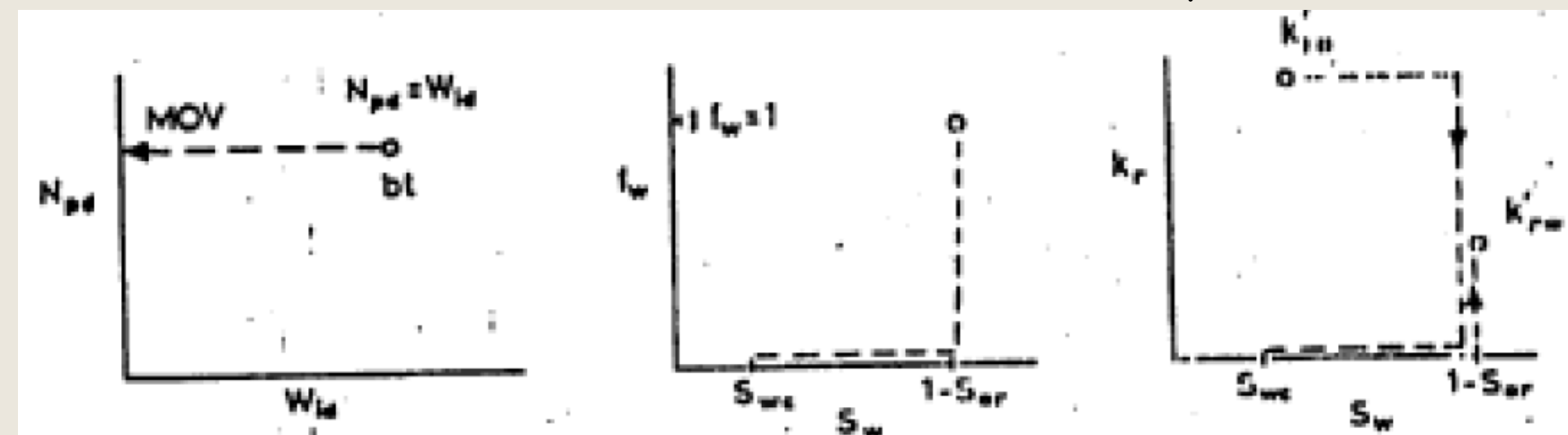
# Aula abierta

# Cuestionario 1

# Análisis de las $k_r$



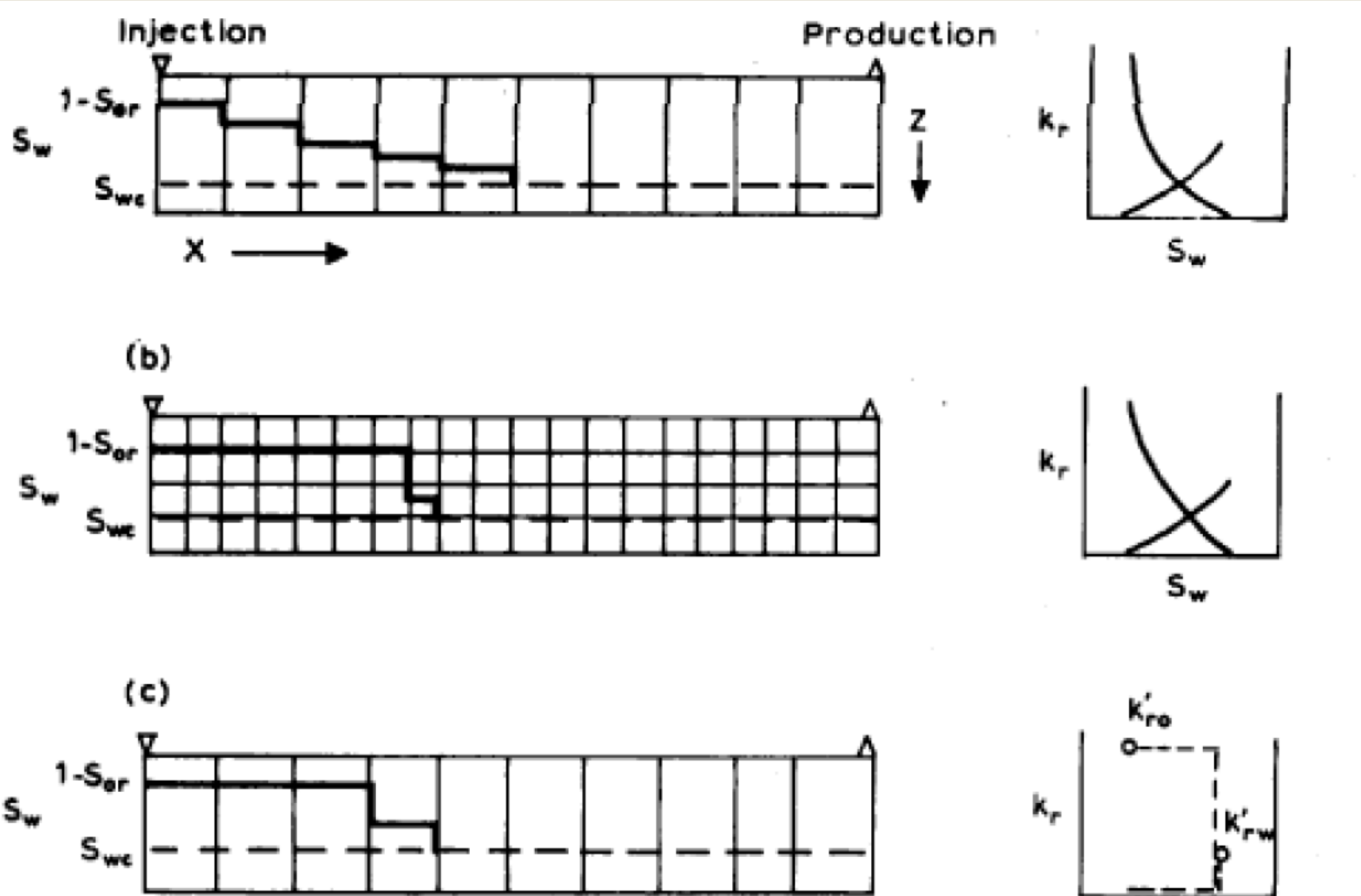
Generación de curvas de  $k_r$  en un desplazamiento usando  $\mu_o=17$  cP (M>1)



Generación de curvas de  $k_r$  en un desplazamiento usando baja  $\mu_o$  (M<1)

# Análisis de las $k_r$

Simulación no emplea concepto de fw



Simulación numérica de un barrido con  $M \leq 1$

# Fuente de datos de kr

- Mediciones de laboratorio
- Datos provenientes de reservorios con características similares
- Correlaciones
- Modelos matemáticos

# Recomendaciones de Schneider

- Las distintas curvas que se dispongan se deben normalizar respecto a las saturaciones para luego obtener una curva promedio.
- Remover el efecto de las variaciones de  $S_{or}$  y  $S_{wi}$  en las distintas curvas pero manteniendo la forma de las mismas.
- Permite promediar los valores de  $S_o$  y  $S_w$  para valores seleccionados de  $k_r$  con lo cual se obtiene una sola curva de  $k_{ro}$  y  $k_{rw}$ .
- La curva promedio luego puede desplazarse a las  $S_{or}$  y  $S_{wi}$  que se consideran representativas del reservorio.

# Recomendaciones de Schneider

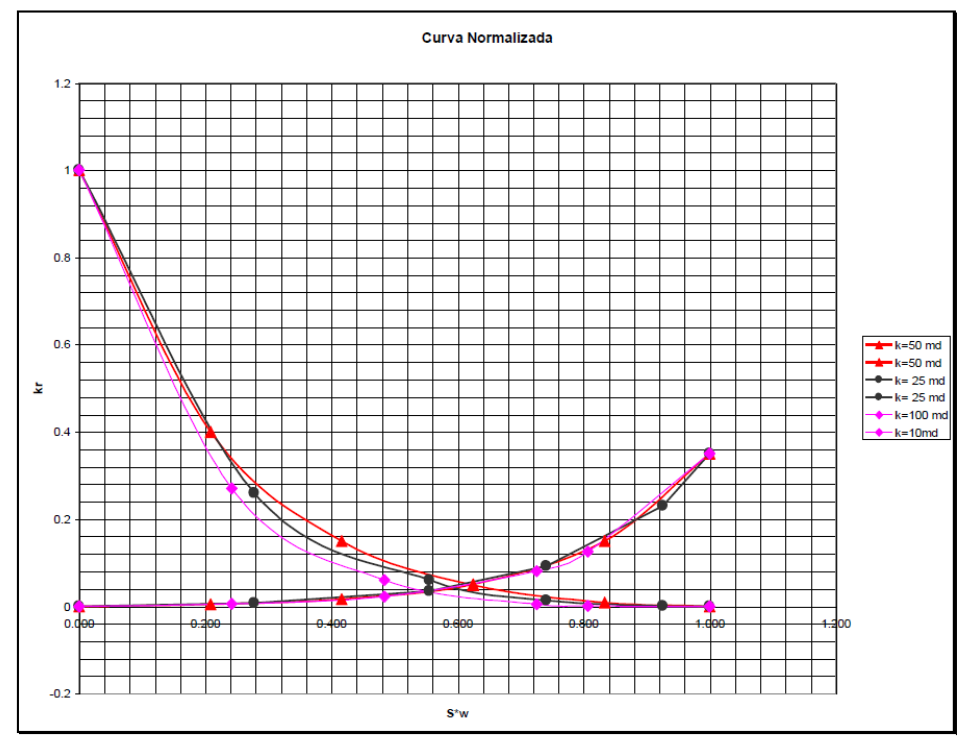
Curva 1				Curva 2				Curva 3			
<b>Sw</b>	<b>kro</b>	<b>krw</b>	<b>S*w</b>	<b>Sw</b>	<b>Kro</b>	<b>krw</b>	<b>S*w</b>	<b>Sw</b>	<b>kro</b>	<b>krw</b>	<b>S*w</b>
0.1	1	0	0.000	0.2	1	0	0.000	0.3	1	0	0.000
0.25	0.27	0.005	0.242	0.35	0.26	0.007	0.278	0.4	0.4	0.0043	0.208
0.4	0.06	0.022	0.484	0.5	0.06	0.035	0.556	0.5	0.15	0.016	0.417
0.55	0.0043	0.08	0.726	0.6	0.013	0.092	0.741	0.6	0.048	0.05	0.625
0.6	0.001	0.125	0.806	0.7	0.001	0.23	0.926	0.7	0.008	0.15	0.833
0.72	0	0.35	1.000	0.74	0	0.35	1.000	0.78	0	0.35	1.000
k = 100 md				k = 50 md				k = 25 md			

Normalización de curvas de  $k_r$

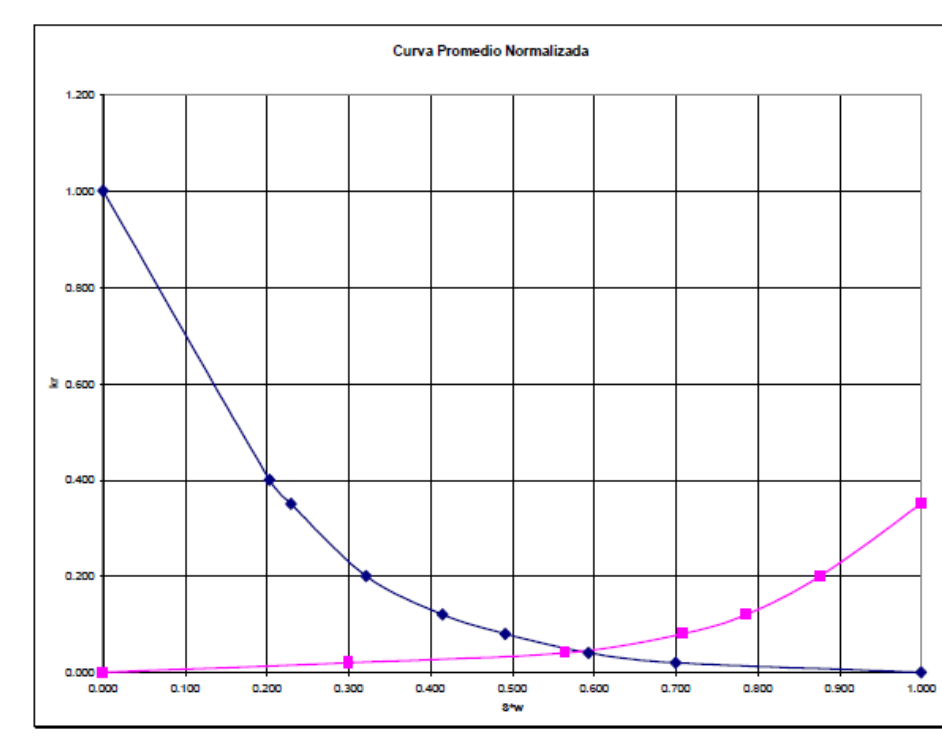
$$S_w^* = \frac{S_w - S_{wi}}{1 - S_{wi}}$$

# Recomendaciones de Schneider

$$S_w = S_w^* (1 - S_{wi} - S_{or}) + S_{wi}$$

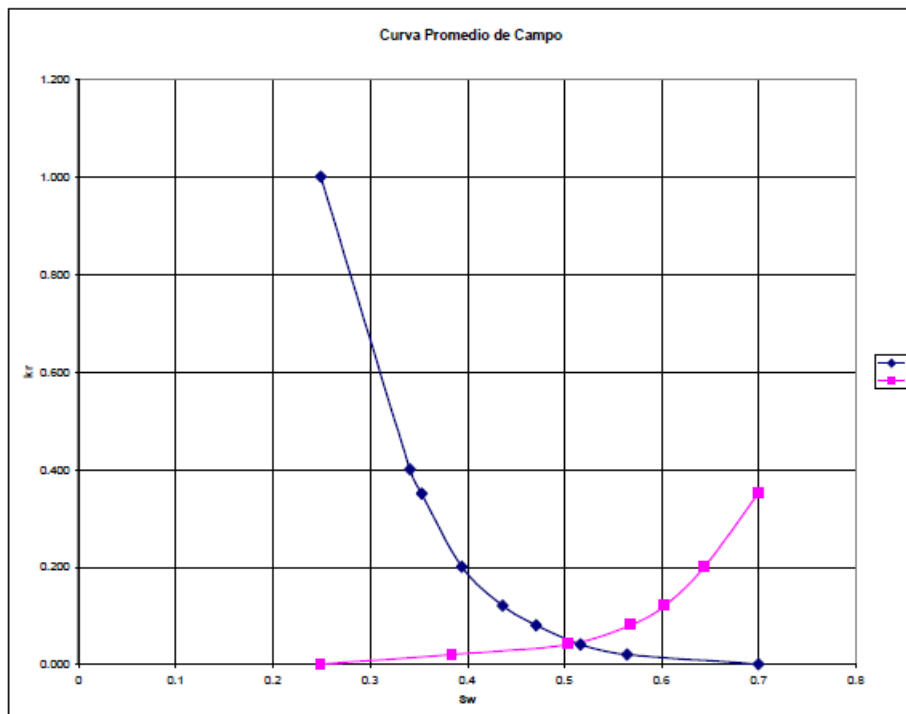


Curvas normalizadas



Curva Promedio normalizada

# Recomendaciones de Schneider



Curva Promedio de campo

$S_{wi} = 0.25$  y la  $S_{or} = 0.30$

# Correlaciones $k_r$

Correlaciones de permeabilidades relativas de Corey y Pirson		
	Fase mojante	Fase no mojante
<b>Drenaje</b>	$krw = (Sw^*)^4$ Corey	$krnw = (1-Sw^*)^2(1-Sw^{*2})$ Corey
	$krw = Sw^3(Sw^*)^{0.5}$ Pirson	$krnw = (1-Sw^*)[1-(Sw^*)^{0.25}Sw_i^{0.5}]^{0.5}$ Pirson
<b>Imbibición</b>	$krw = Sw^4(Sw^*)^{0.5}$ Pirson	$krnw = [1 - [(Sw - Sw_i)] / (1 - Sw_i - Sw_{wi})]^2$ Pirson

**Swi**= saturación irreducible de la fase mojante

**Snwi**=saturación irreducible de la fase no mojante

**Sw\*=(Sw-Swi)/(1-Swi)**

La ventaja del uso de correlaciones radica en que con un muy limitado número de datos ( $S_{wi}$ ,  $S_r$  y las permeabilidades de las fases a esas saturaciones) estas funciones permiten obtener un set de permeabilidades completo.

# Conclusiones sobre $k_r$

Los datos de permeabilidad obtenidos en el laboratorio reflejan hechos que están relacionados con el manejo de las coronas o los testigo y que no necesariamente reflejan el comportamiento del reservorio.

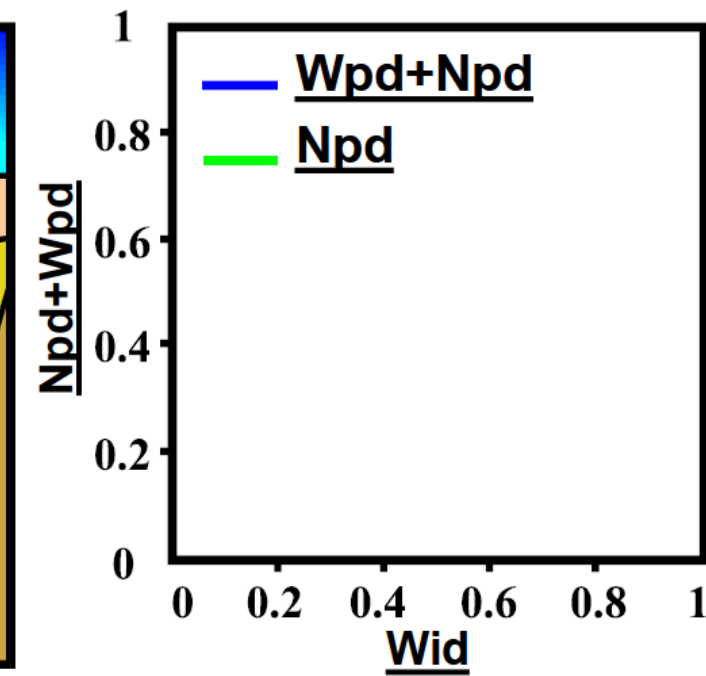
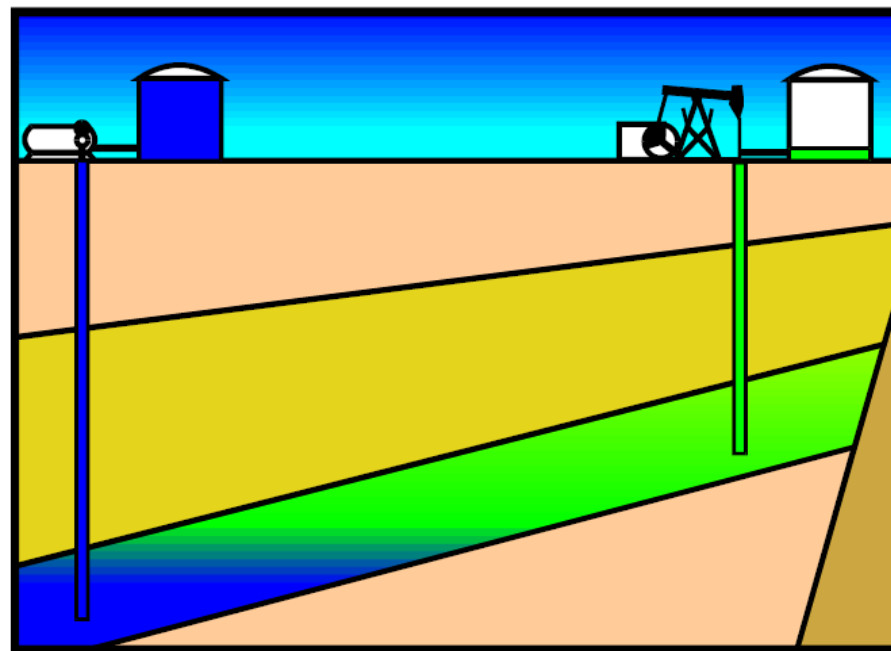
Entre los principales problemas podemos incluir

- Cambios en la mojabilidad asociados con los fluidos utilizados al obtener la corona,
- durante el almacenamiento o la obtención de los testigos para hacer los ensayos.
- Tipos de fluidos utilizados en los ensayos
- Método utilizado para obtener los valores (estacionario o no estacionario)

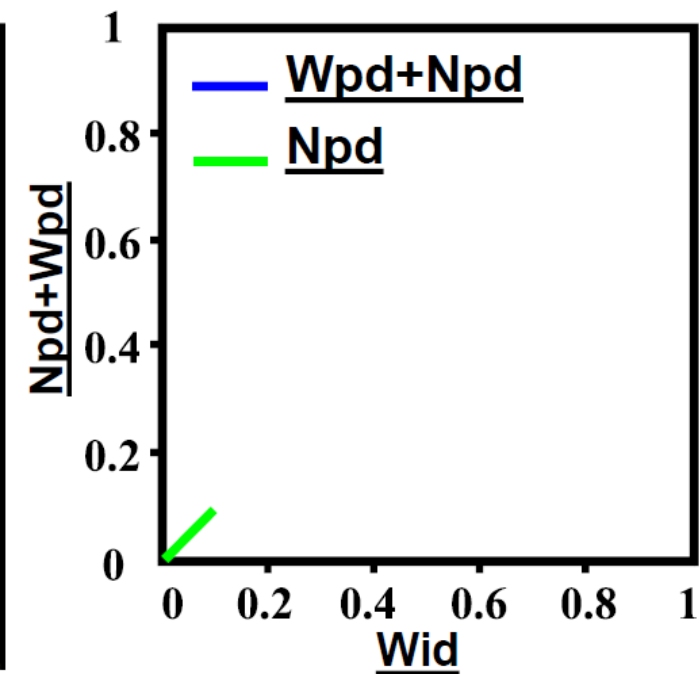
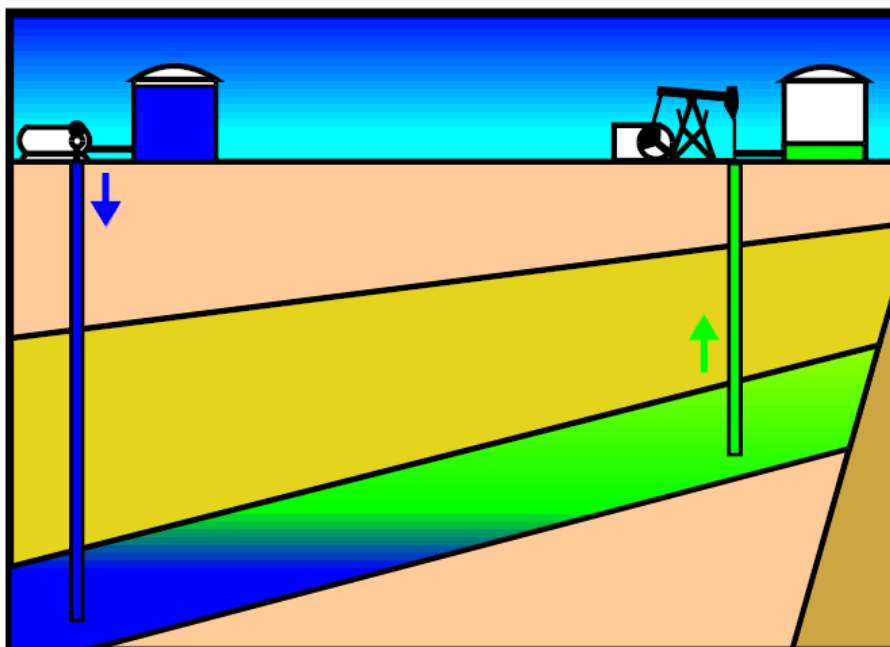
Tener presente las anteriores limitaciones, junto a la selección de testigos representativos del reservorio minimizan los problemas de los datos de permeabilidad relativa para su posterior uso en cálculos.

# Etapas de Desplazamiento

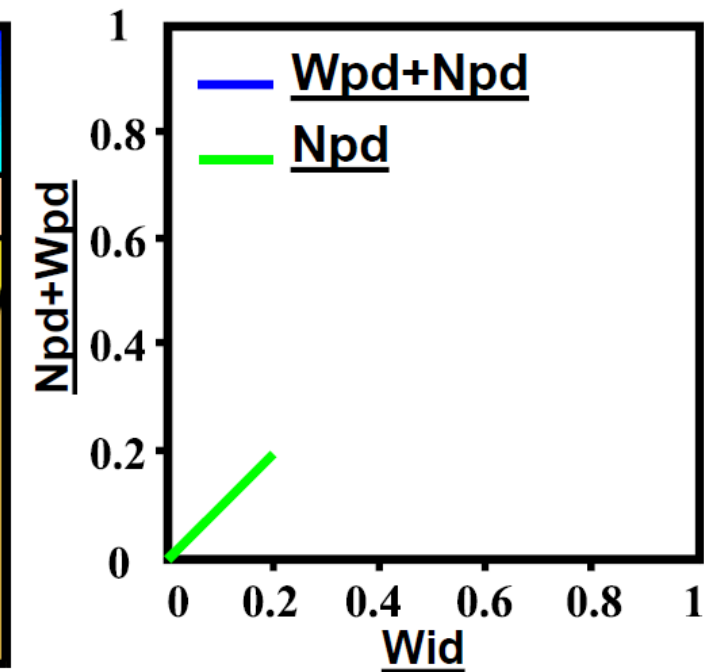
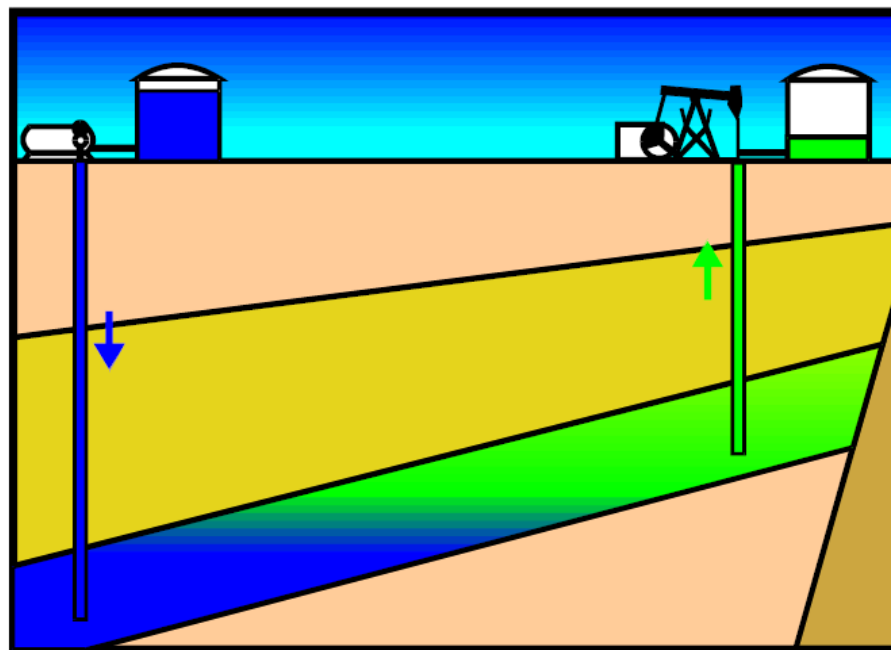
Inicio de la inyección y formación de un frente de agua



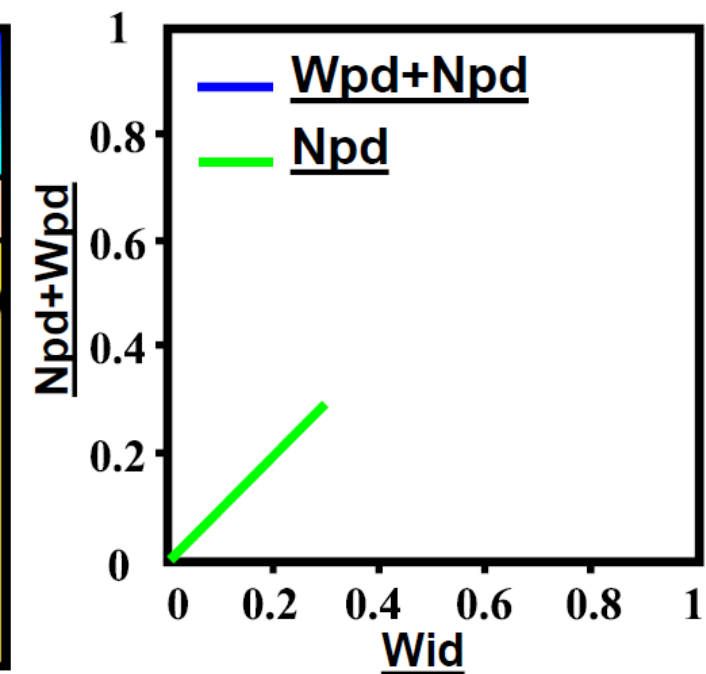
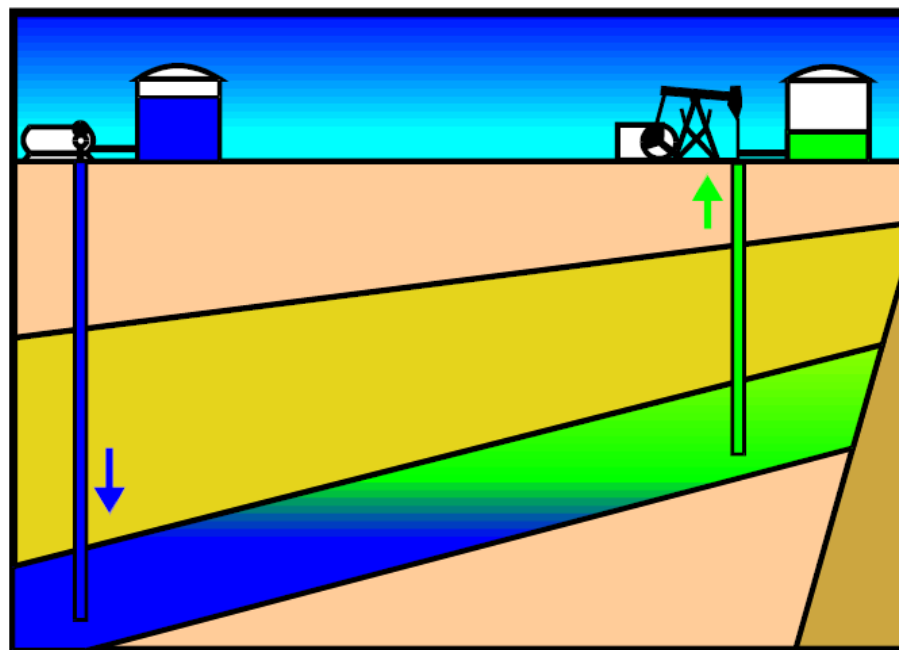
# Etapas de Desplazamiento



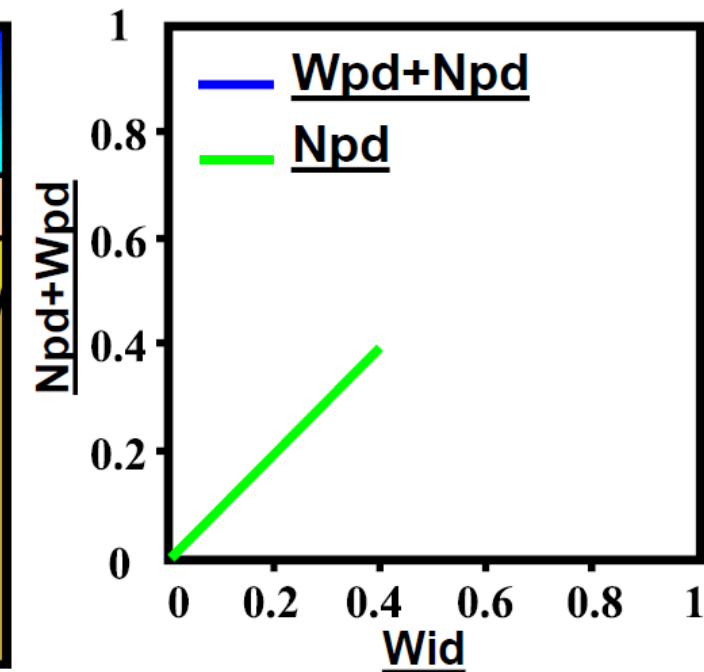
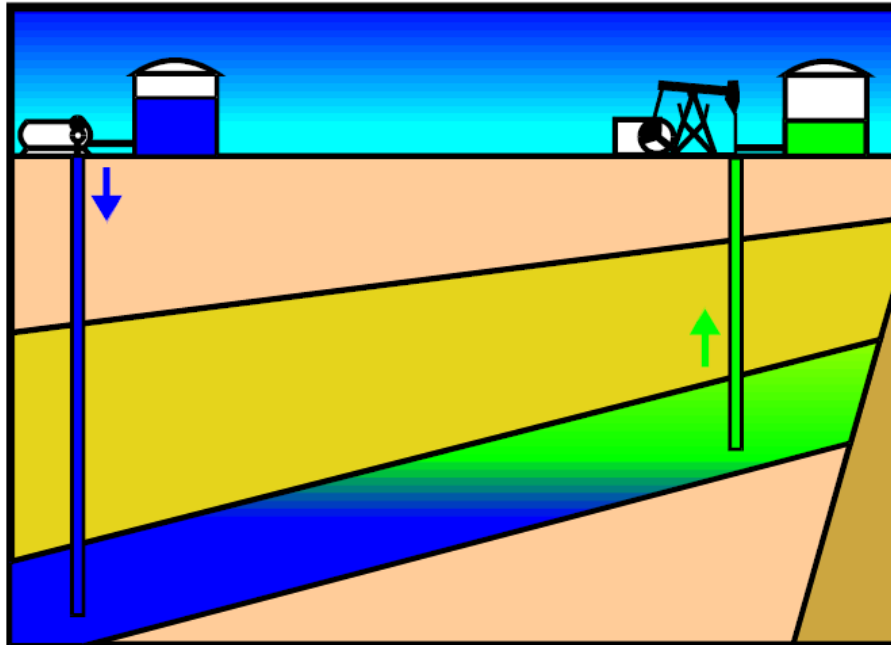
# Etapas de Desplazamiento



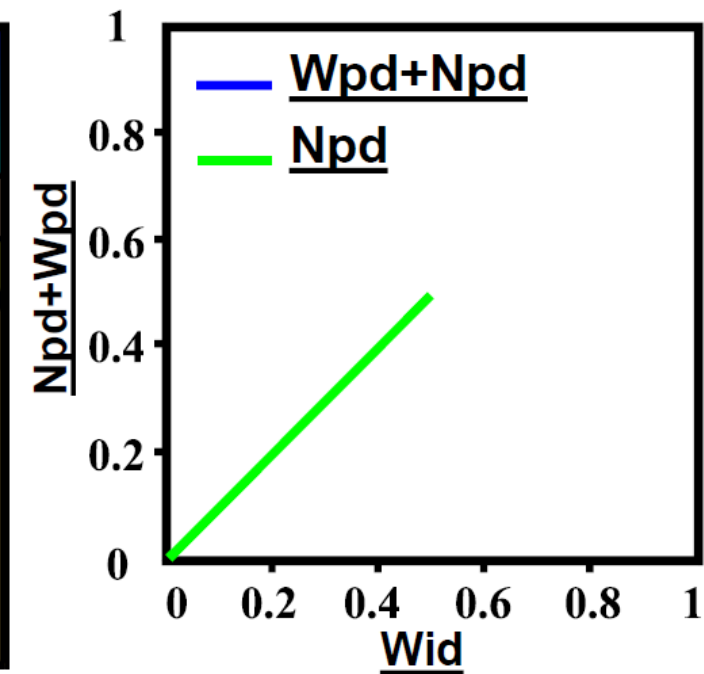
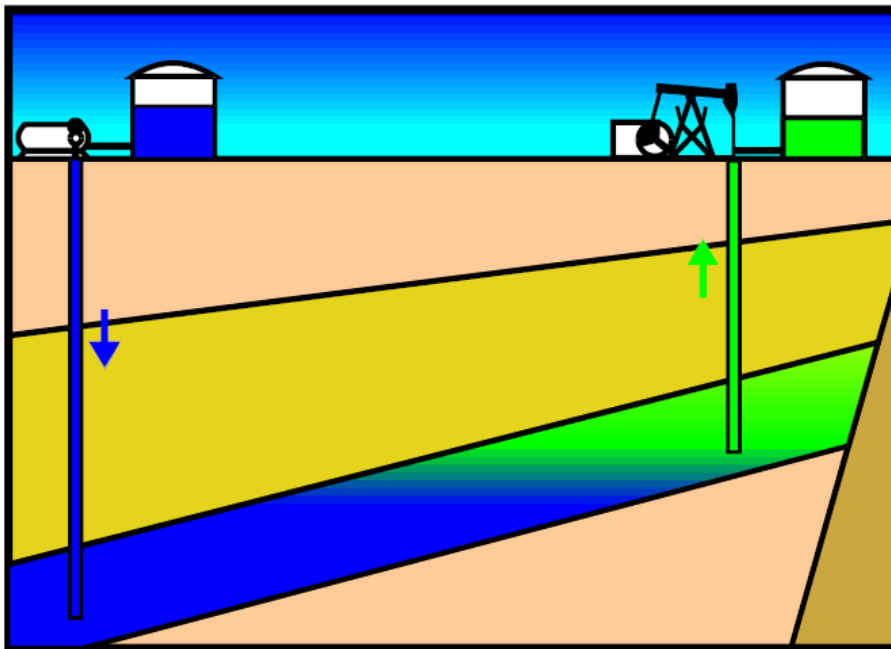
# Etapas de Desplazamiento



# Etapas de Desplazamiento

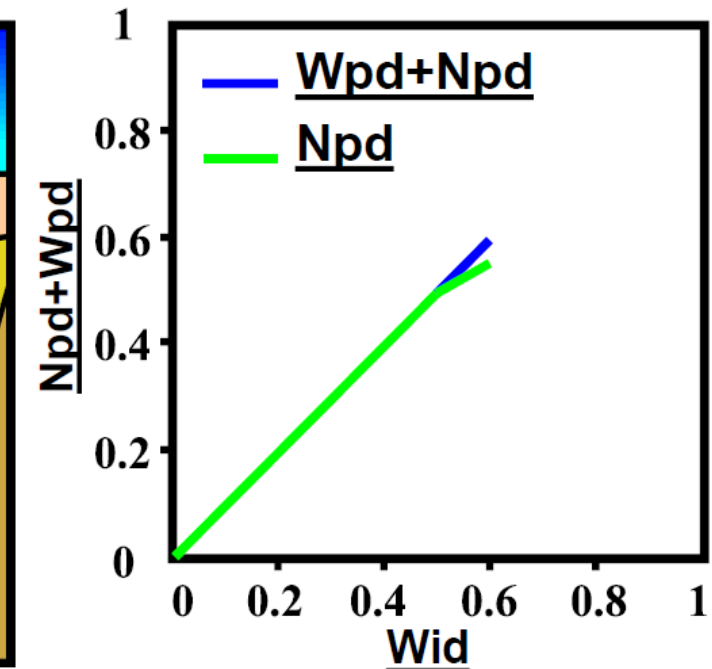
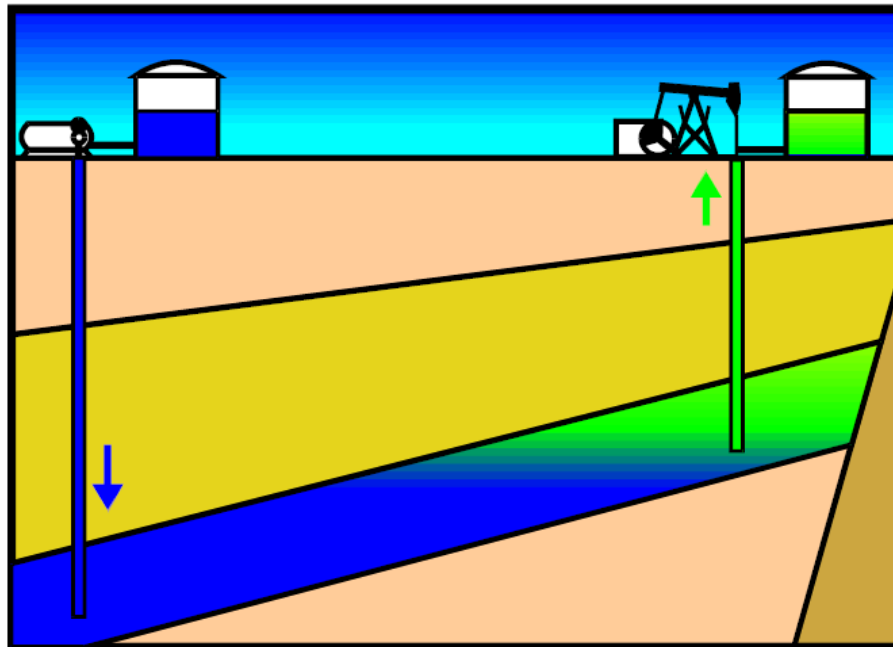


# Etapas de Desplazamiento



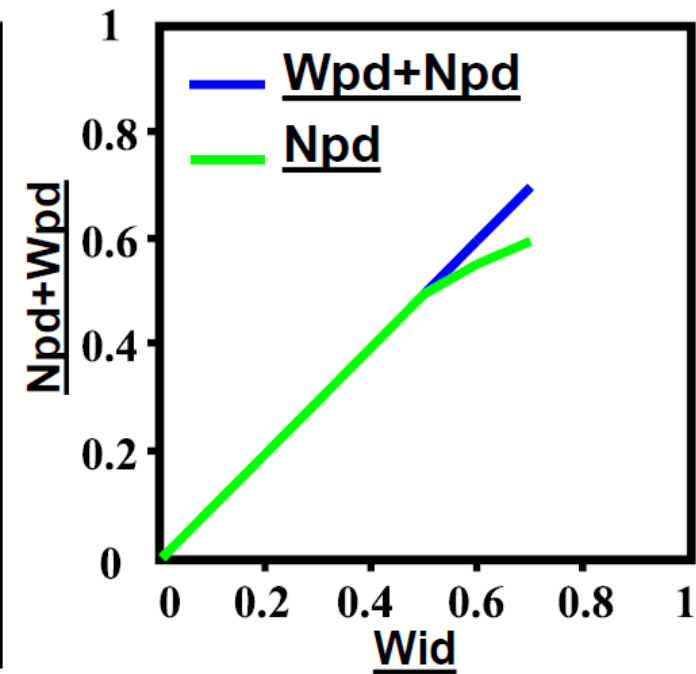
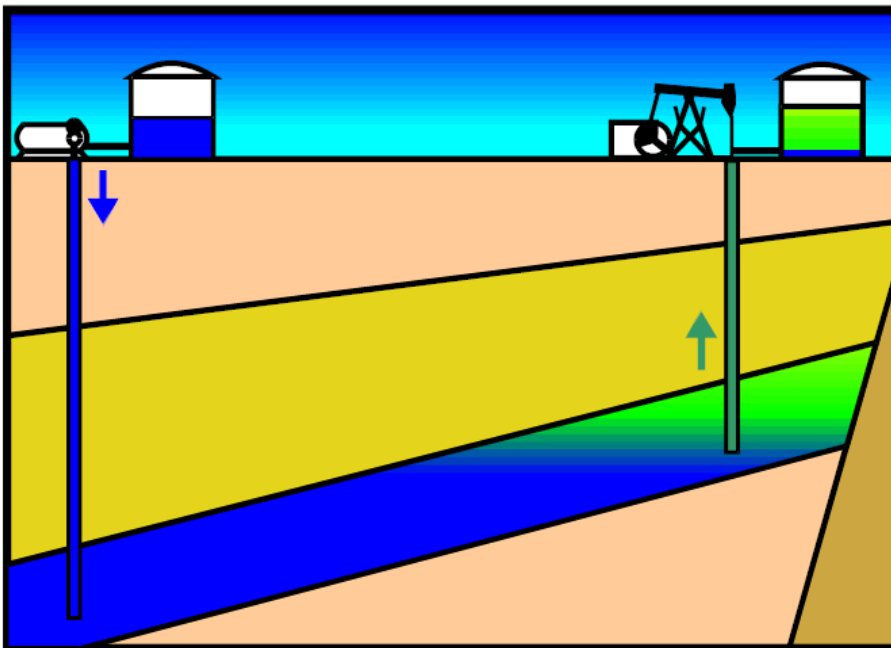
# Etapas de Desplazamiento

Arribo del frente de agua al pozo productor (irrupción del agua o water breakthrough)

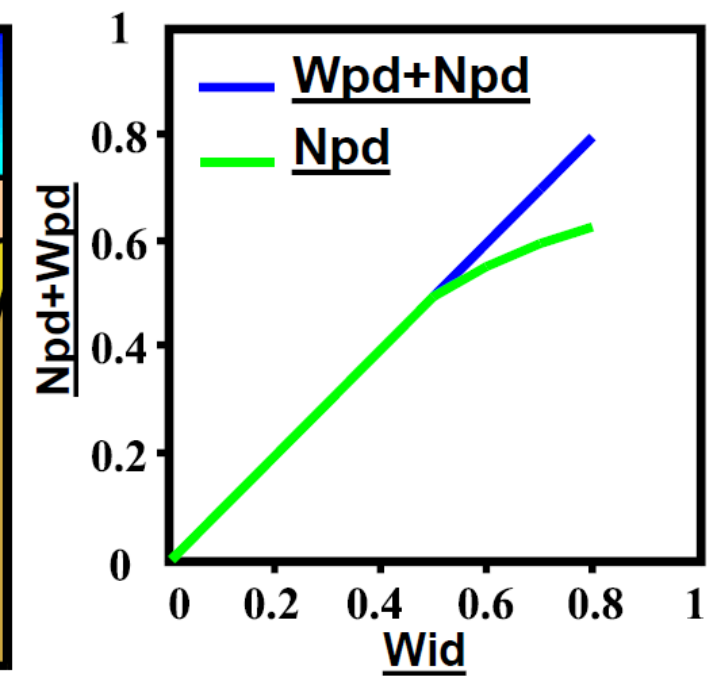
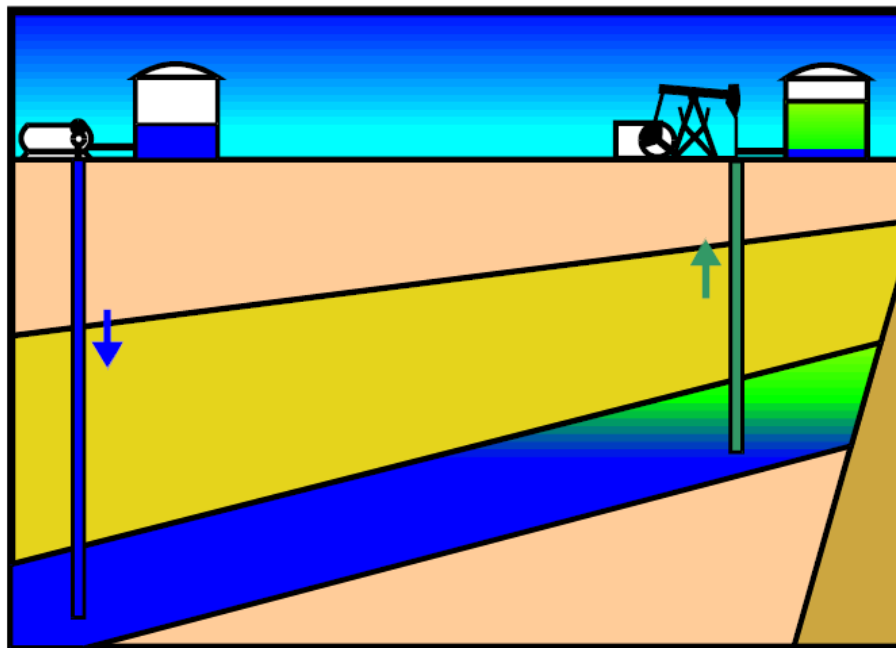


# Etapas de Desplazamiento

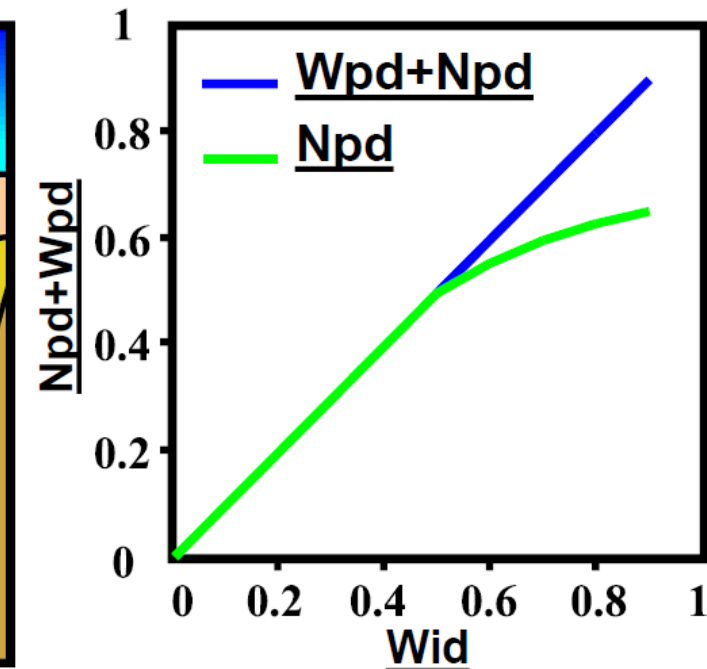
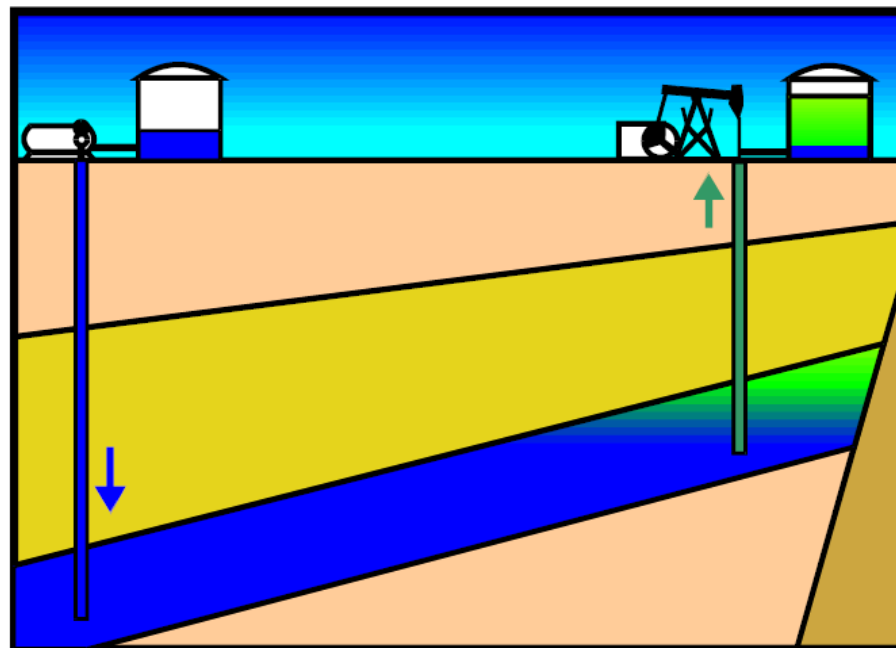
Desplazamiento y producción de petróleo, acompañado de una producción de agua creciente



# Etapas de Desplazamiento

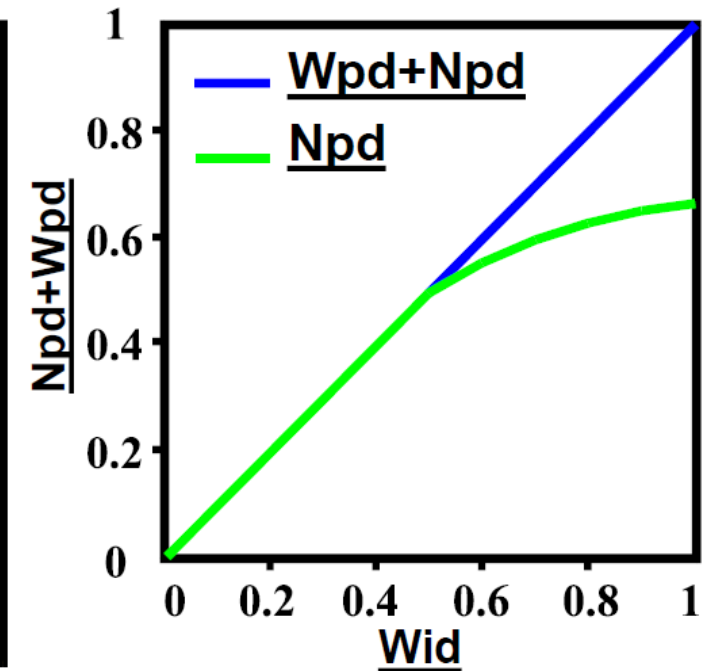
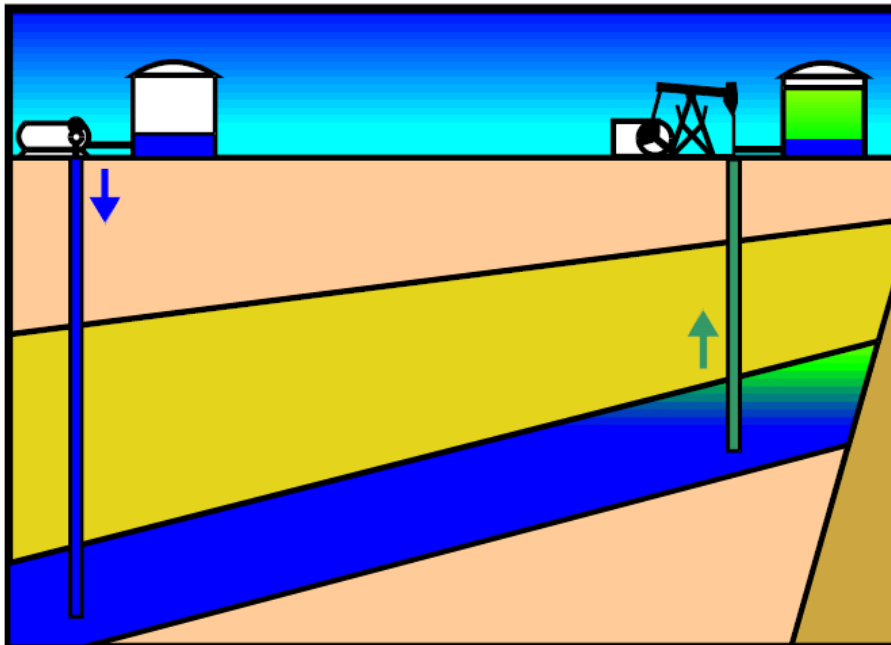


# Etapas de Desplazamiento



# Etapas de Desplazamiento

Etapa final, con alta proporción de agua en la producción



# FIN

*Eres agente de cambio*

